



研究院 农产品组

研究员

邓绍瑞

☎ 010-64405663

✉ dengshaorui@htfc.com

从业资格号: F3047125

投资咨询号: Z0015474

李馨

✉ lixin@htfc.com

从业资格号: F03120775

投资咨询号: Z0019724

联系人

白旭宇

☎ 010-64405663

✉ baixuyu@htfc.com

从业资格号: F03114139

薛钧元

☎ 010-64405663

✉ xuejunyuan@htfc.com

从业资格号: F03114096

投资咨询业务资格:

证监许可【2011】1289号

内容摘要

2025年6月全球重点农产品产量预估及生长状况监测显示,2025年6月全球重点农产品产量及长势监测显示,多数产区状况稳定,部分区域受天气影响存在风险。美国大豆、玉米产区整体天气良好,中西部短期偏干后缓解,产量稳定;北达科他因降水不足长势较差。美国棉花产区水热条件优越,长势多呈上升趋势,但德州7月初极端降水可能带来影响。东南亚棕榈油产区整体生长环境良好,苏门答腊降水骤降需警惕后续风险。加拿大菜籽产区植被指数略降,曼尼托巴土壤墒情风险较高。澳大利亚菜籽产区长势较差,南澳和维多利亚州减产风险大。新疆红枣产区温度基本正常,阿克苏5-6月温度偏高需关注。欧洲6月底至7月初热穹顶引发极端高温,导致干旱和野火风险,7月热穹顶坍塌后出现强对流天气,后期可能再形成。北美未来一个月天气利于作物生长,美国中西部降水改善,加拿大菜籽产区降水或缓解墒情。

目录

内容摘要	1
全球重点农产品产量预估	5
产量预估品种、时间窗口和方法	5
产量预估结果	6
全球重点农产品长势监测	7
马来和印尼棕榈油产区状况	7
美国大豆、玉米产区状况	9
美国棉花产区状况	11
加拿大菜籽产区状况	14
澳大利亚菜籽产区状况	15
新疆红枣产区温度评估	17
欧洲近期热穹顶形成与崩塌	18
欧洲 6 月底到 7 月初热穹顶形成原因及影响	18
热穹顶后期坍塌影响和再度形成	19
北美产区历史和未来天气分析	21
北美过去一个月天气状况分析	21
美国南部极端降水评估	21
北美未来一个月天气趋势分析	22

图表

图 1: 全球重点农作物生长日历	5
图 2: 当期监测区域和品种示意图	5
图 3: 农产品组产量模型预估	5
图 4: 农产品组产量模型预估	6
图 5: 6 月底东南亚棕榈油产区 NDVI 距平图	7
图 6: 马来半岛棕榈 6 月长势和环境指标对比	8
图 7: 沙撈越和沙巴棕榈 6 月长势和环境指标对比	8
图 8: 加里曼丹棕榈 6 月长势和环境指标对比	8
图 9: 苏门答腊棕榈 6 月长势和环境指标对比	8
图 10: 北达科他大豆玉米带 6 月长势和环境对比	9
图 11: 南达科他大豆玉米带 6 月长势和环境对比	9
图 12: 内布拉斯加大豆玉米带 6 月长势和环境对比	9
图 13: 堪萨斯大豆玉米带 6 月长势和环境对比	9
图 14: 爱荷华大豆玉米带 6 月长势和环境对比	10
图 15: 密苏里大豆玉米带 6 月长势和环境对比	10
图 16: 伊利诺伊大豆玉米带 6 月长势和环境对比	10
图 17: 印第安纳大豆玉米带 6 月长势和环境对比	10

图 18: 俄亥俄大豆玉米带 6 月长势和环境对比	11
图 19: 密歇根大豆玉米带 6 月长势和环境对比	11
图 20: 俄克拉荷马棉花区 6 月长势和环境对比	12
图 21: 德克萨斯棉花区 6 月长势和环境对比	12
图 22: 阿肯色棉花区 6 月长势和环境对比	12
图 23: 密西西比棉花区 6 月长势和环境对比	12
图 24: 田纳西棉花区 6 月长势和环境对比	13
图 25: 阿拉巴马棉花区 6 月长势和环境对比	13
图 26: 北卡罗来纳棉花区 6 月长势和环境对比	13
图 27: 佐治亚棉花区 6 月长势和环境对比	13
图 28: 阿尔伯特菜籽区 6 月长势和环境对比	14
图 29: 曼尼托巴菜籽区 6 月长势和环境对比	14
图 30: 萨斯喀彻温菜籽区 6 月长势和环境对比	14
图 31: 新南威尔士菜籽区 6 月长势和环境对比	16
图 32: 南澳大利亚菜籽区 6 月长势和环境对比	16
图 33: 维多利亚菜籽区 6 月长势和环境对比	16
图 34: 西澳大利亚菜籽区 6 月长势和环境对比	16
图 35: 喀什地区近 5 年均温	17
图 36: 阿克苏地区近 5 年均温	17
图 37: 和田地区近 5 年均温	17
图 38: 三大区域近 5 年均温	17
图 39: 热穹顶形成机理	18
图 40: 6 月底欧洲热穹顶引发高温影响区域	18
图 41: 6 月 23 日欧洲土壤墒情	19
图 42: 7 月 7 日欧洲土壤墒情	19
图 43: 热穹顶崩塌及降温区域	20
图 44: 强对流天气分布	20
图 45: 北美 6 月降水量距平分布	21
图 46: 北美截止 7 月 7 日土壤墒情	21
图 47: 美国德州 7 月 1-10 日累计降水距平	22
图 48: 截止 7 月 10 日美国德州中部洪灾区域	22
图 49: 美国未来 7 月气压模式预测	22
图 50: NOAA 对 7 月中旬温度距平预测	22
图 51: 美国未来第一周降水距平预测	23
图 52: 美国未来第二周降水距平预测	23
图 53: 美国未来第三周降水距平预测	23
图 54: 美国未来第四周降水距平预测	23
图 55: 美国未来第一周温度距平预测	24
图 56: 美国未来第二周温度距平预测	24
图 57: 美国未来第三周温度距平预测	24

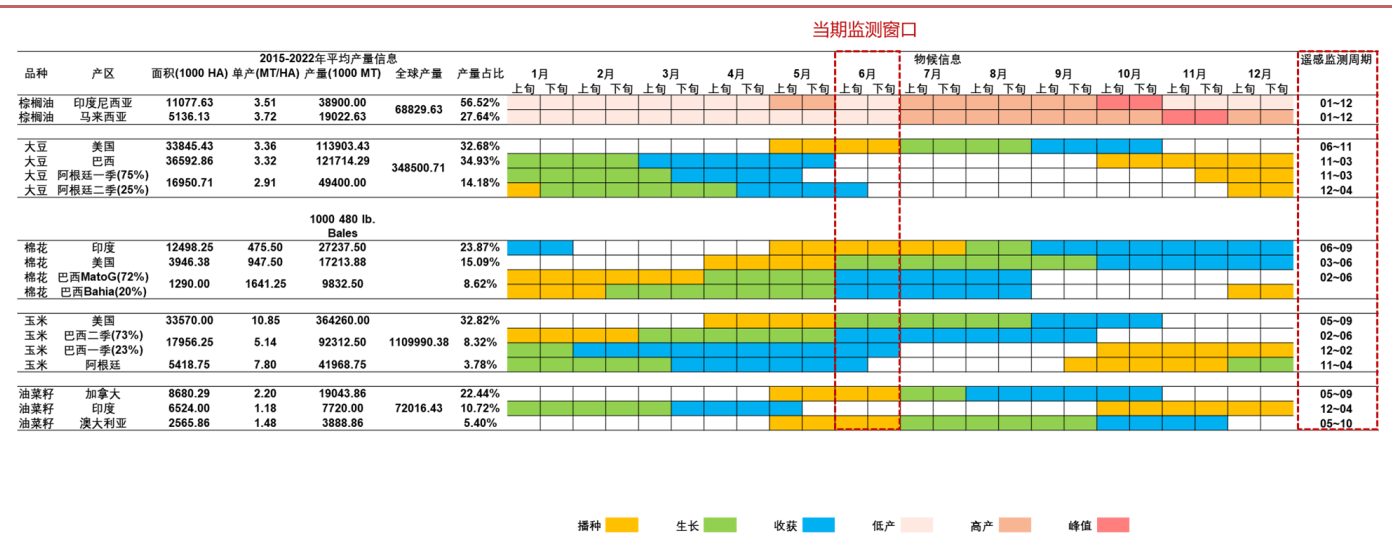
图 58: 美国未来第四周温度距平预测..... 24

全球重点农产品产量预估

产量预估品种、时间窗口和方法

当前正值北半球的作物生长期。因此针对市场交易的重点和热点，本监测周期对美国大豆、玉米、棉花、加拿大菜籽、澳大利亚菜籽和东南亚棕榈展开监测，监测窗口为6月，时间周期覆盖2005年-2025年共20年的当期和历史同期数据。

图 1：全球重点农作物生长日历



数据来源：华泰期货研究院

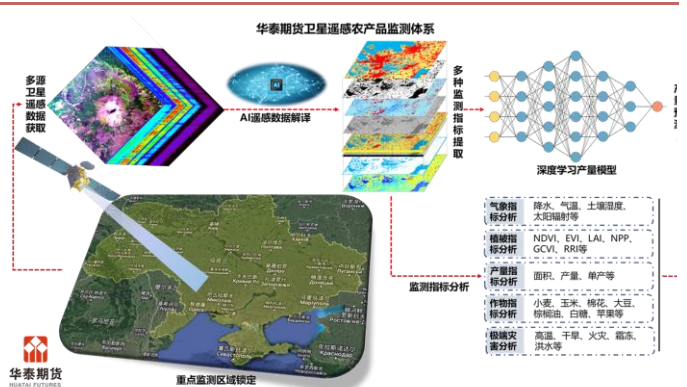
监测主要通过卫星遥感、气象数据和实地观测等数据，实时追踪作物的生长进度、长势水平、土壤湿度、养分状况以及气候条件等指标。具体包含24个关键指标，涵盖了作物生长的多个维度，包括植被指数（如NDVI、EVI）、叶面积指数（LAI）、地表温度、土壤湿度、降水分布、光合有效辐射（PAR）等。

图 2：当期监测区域和品种示意图



数据来源：华泰期货研究院

图 3：农产品组产量模型预估



数据来源：华泰期货研究院

同时构建自有产量模型，模型利用多光谱和高光谱遥感数据，结合气象信息和历史产量数据，通过构建深度学习模型进行训练和优化。首先通过卫星影像提取作物生长的空间和时间特征，例如作物长势水平、生长速率和生物量积累。随后，结合气象数据（如降雨量、温度和日照时长）和土壤条件（如湿度、养分含量），评估作物生长的环境适宜性。此外，模型还考虑了病虫害风险、极端天气事件（如干旱或洪涝）对产量的潜在影响产量。

产量预估结果

此次预估收获面积基于 USDA 官方数据，各品种产量预估结果如下表所示。整体来看，美国大豆和玉米产区天气条件良好，在 6 月中旬中西部区域出现短期的偏干，很快得以缓解，部分区域优良率有所下滑，拖累整体单产略微下滑，但基本可以忽略不计，产量基本保持稳定，未出现较大波动。加拿大产区东部曼尼托巴区域受干旱影响，作物长势水平有所下降，对全域单产有所拖累，但幅度不大，需持续关注。澳大利亚菜籽整体较前一期有所恢复，根据产量预估模型小幅上修单产预估，但依然较历史同期偏差，单产水平未来依然不容乐观。美国棉花依然保持良好的长势，产量基本保持稳定，但 6 月全产区过多降水以及 7 月初发生的德州极端降水可能会对作物产生一定影响，后续会持续评估。

图 4：农产品组产量模型预估

	25/26华泰6月 产量预估	25/26华泰6月 单产预估	25/26华泰7月 产量预估	25/26华泰7月 单产预估	25/26华泰8月 产量预估	25/26华泰8月 单产预估	25/26华泰9月 产量预估	25/26华泰 单产预估
发布时间	2025年6月11日	2025年6月11日	2025年7月11日	2025年7月11日	2025年8月11日	2025年8月11日	2025年9月11日	2025年9月
美国玉米	400035千吨	180.2蒲/英亩	399327千吨	179.83蒲/英亩				
美国大豆	117807千吨	52.33蒲/英亩	117472千吨	52.21蒲/英亩				
美国棉花	3318千吨	980公斤/公顷	3215千吨	970公斤/公顷				
加拿大菜籽	19313千吨	2.17吨/公顷	19224千吨	2.16吨/公顷				
澳大利亚菜籽	5542千吨	1.63吨/公顷	5916千吨	1.74吨/公顷				

	25/26USDA6月报 产量预估	25/26USDA6月报 单产预估	25/26USDA7月报 产量预估	25/26USDA7月报 单产预估	25/26USDA8月报 产量预估	25/26USDA8月报 单产预估	25/26USDA9月报 产量预估	25/26USDA 单产预估
发布时间	2025年6月13日	2025年6月13日	2025年7月12日	2025年7月12日	2025年8月13日	2025年8月13日	2025年9月13日	2025年9月
美国玉米	401847千吨	181蒲/英亩						
美国大豆	118115千吨	52.5蒲/英亩						
美国棉花	3049.8千吨	920公斤/公顷						
加拿大菜籽	19500千吨	2.19吨/公顷						
澳大利亚菜籽	6150千吨	1.81吨/公顷						

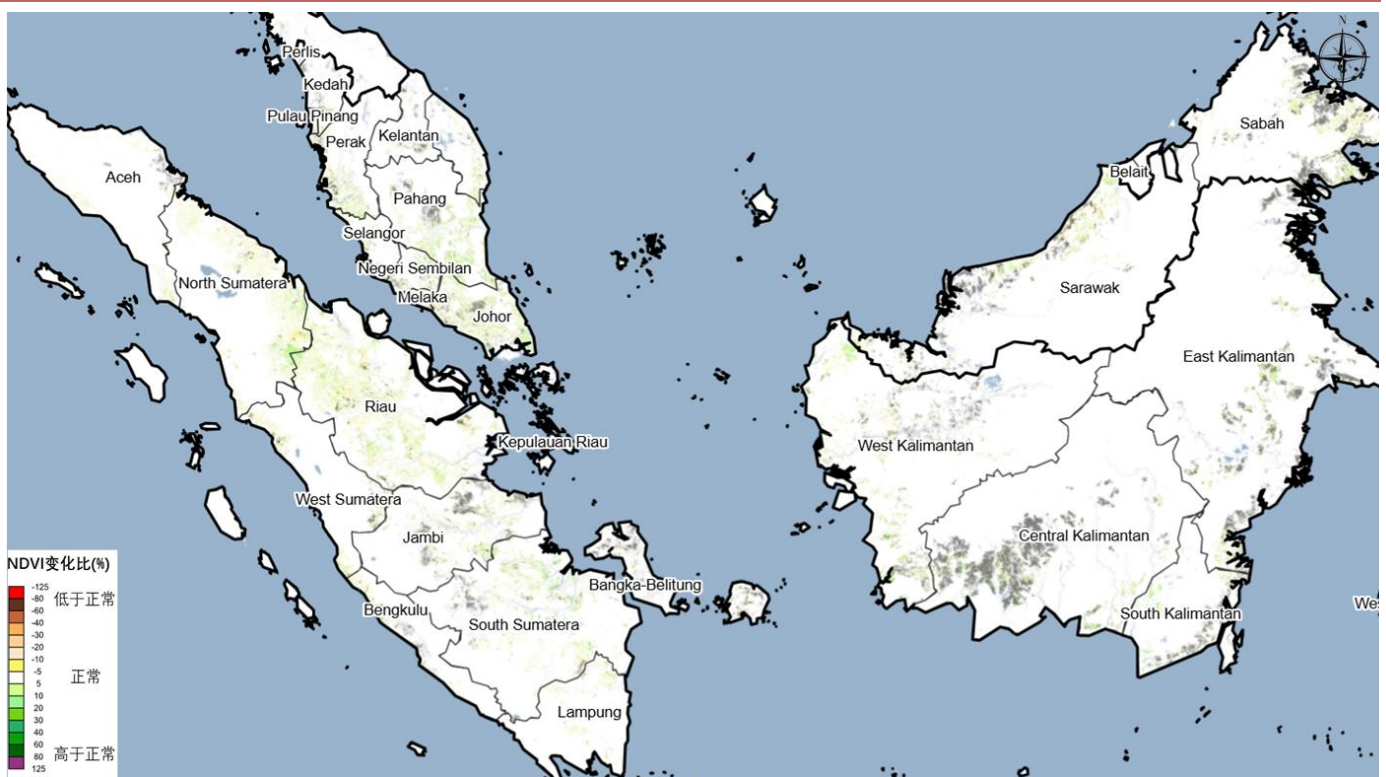
数据来源：华泰期货研究院

全球重点农产品长势监测

马来和印尼棕榈油产区状况

根据监测结果总体看，2025年6月，棕榈油各个产区生长环境指标均处于良好状态，个别区域出现一定问题，如苏门答腊的降水骤降需警惕后续生长风险，而其他产区的水热条件整体利于棕榈稳定产出。

图 5: 6月底东南亚棕榈油产区 NDVI 距平图



数据来源：Sentinel 和 Landsat 卫星数据 华泰期货研究院

具体来看，植被指数方面，6月印尼及马来产区整体保持稳定，局部因水热条件差异出现小幅波动。加里曼丹岛6月EVI (0.49) 较前20年平均 (0.48) 上升2.1%，NDVI (0.78) 上升5.4%，但LAI (4.00) 下降3.8%，整体生长状况与2016年 (EVI0.49、LAI4.15、NDVI0.77) 相似。苏门答腊岛6月EVI (0.50) 上升4.2%，NDVI (0.78) 上升4.0%，LAI (3.98) 基本持平 (+1.0%)，植被长势略优于平均，与2021年 (EVI0.50、LAI4.26、NDVI0.77) 特征接近，但2025年降水骤降可能对后续生长产生滞后影响。马来半岛6月EVI (0.46) 下降8.0%，LAI (3.89) 下降5.3%，仅NDVI (0.78) 微升2.6%，生长活力减弱，与2006年 (EVI0.47、LAI3.93、NDVI0.72) 相似。沙捞越和沙巴6月EVI (0.52) 与平均持平，NDVI (0.82) 上升3.8%，LAI

(4.56) 微降 0.9%，生长状况最优且稳定，与 2014 年 (EVI0.53、LAI4.64、NDVI0.79) 相似。

降水与土壤湿度方面，6 月土壤湿度 (25cm 和 5cm 体积含水) 呈现“印尼西部降、东部稳，马来持平”的区域特征。加里曼丹岛 25cm 体积含水 (0.3397) 较平均 (0.3353) 上升 1.3%，5cm (0.3374) 上升 1.3%，湿度稳定。苏门答腊岛 25cm 含水 (0.3267) 下降 3.3%，5cm (0.3209) 下降 4.4%，为全区域降幅最大，与 2008 年 (25cm0.3119、5cm0.3144) 相似，且表层降幅大于深层。马来半岛 6 月 25cm 含水 (0.3151) 与平均 (0.3144) 基本持平，5cm (0.3074) 下降 0.9%，湿度稳定。沙捞越和沙巴 25cm 含水 (0.3570) 下降 0.7%，5cm (0.3538) 下降 1.5%，湿度微降，与 2013 年 (25cm0.3557、5cm0.3523) 相似。

图 6: 马来半岛棕榈 6 月长势和环境指标对比

名称	年份	EVI	LAI	NDVI	最高气温(°C)	最低气温(°C)	土壤25cm体 积含水	土壤5cm体 积含水	累积降水 (mm)
Malay Peninsula	2005	0.48	4.31	0.78	28.06	23.61	0.2965	0.2939	201.81
	2006	0.47	3.93	0.72	26.97	23.09	0.3138	0.3139	260.16
	2007	0.48	3.85	0.74	27.33	23.59	0.3259	0.3259	280.04
	2008	0.49	4.23	0.77	27.02	23.11	0.3106	0.3128	305.24
	2009	0.50	4.44	0.77	27.97	23.34	0.2949	0.2915	196.10
	2010	0.52	3.98	0.77	27.72	23.67	0.3228	0.3213	216.10
	2011	0.49	3.74	0.73	27.45	22.81	0.3153	0.3104	229.60
	2012	0.49	4.26	0.77	28.15	22.71	0.2958	0.2839	116.65
	2013	0.52	4.54	0.78	28.35	23.14	0.3024	0.2882	134.90
	2014	0.50	4.46	0.76	28.30	23.38	0.3142	0.3067	172.52
	2015	0.49	3.66	0.72	27.67	22.88	0.3164	0.3118	213.94
	2016	0.49	4.08	0.75	27.91	23.12	0.3165	0.3107	197.63
	2017	0.52	4.54	0.79	27.72	22.92	0.3196	0.3149	230.57
	2018	0.50	3.82	0.74	27.50	22.89	0.3151	0.3110	208.60
	2019	0.49	3.51	0.76	27.51	23.36	0.3273	0.3228	318.46
	2020	0.47	3.24	0.69	27.30	23.13	0.3257	0.3229	305.02
	2021	0.52	4.45	0.79	27.76	22.86	0.3061	0.3007	201.13
2022	0.52	4.23	0.76	27.29	22.87	0.3261	0.3237	342.28	
2023	0.53	4.71	0.78	28.36	23.48	0.3039	0.2997	210.44	
2024	0.51	4.30	0.78	27.77	23.82	0.3388	0.3366	431.08	
前20年平均	0.50	4.11	0.76	27.71	23.19	0.3144	0.3102	238.61	
2025	0.46	3.89	0.78	28.17	23.25	0.3151	0.3074	232.79	

数据来源: Sentinel 和 Landsat 卫星数据 ECMWF 华泰期货研究院

图 7: 沙捞越和沙巴棕榈 6 月长势和环境指标对比

名称	年份	EVI	LAI	NDVI	最高气温(°C)	最低气温(°C)	土壤25cm体 积含水	土壤5cm体 积含水	累积降水 (mm)
Sarawak/Sabah	2005	0.51	4.86	0.80	26.86	22.50	0.3577	0.3578	278.41
	2006	0.51	4.51	0.77	26.33	22.09	0.3358	0.3363	317.59
	2007	0.51	4.41	0.77	26.32	22.59	0.3312	0.3394	424.12
	2008	0.52	4.45	0.79	26.08	22.10	0.3269	0.3360	383.96
	2009	0.51	4.96	0.79	27.03	22.37	0.3468	0.3470	233.33
	2010	0.52	4.80	0.78	26.47	22.52	0.3760	0.3746	395.51
	2011	0.51	4.44	0.78	26.72	22.07	0.3616	0.3595	319.37
	2012	0.53	4.63	0.79	27.26	21.82	0.3450	0.3408	173.48
	2013	0.52	4.82	0.79	27.39	22.22	0.3557	0.3523	209.45
	2014	0.53	4.64	0.79	27.32	22.47	0.3650	0.3622	285.36
	2015	0.52	4.06	0.78	26.76	22.01	0.3643	0.3622	283.88
	2016	0.53	4.50	0.80	26.40	21.92	0.3717	0.3698	324.85
	2017	0.53	4.47	0.80	26.23	21.86	0.3726	0.3709	362.76
	2018	0.52	4.97	0.79	26.84	21.92	0.3666	0.3642	275.27
	2019	0.54	4.57	0.78	26.61	22.43	0.3745	0.3727	426.06
	2020	0.52	4.40	0.79	26.30	22.13	0.3729	0.3721	418.20
	2021	0.55	4.93	0.79	26.77	22.01	0.3676	0.3665	339.20
2022	0.52	4.85	0.80	26.40	21.66	0.3653	0.3644	338.73	
2023	0.52	4.84	0.81	27.04	22.35	0.3602	0.3591	289.57	
2024	0.52	3.91	0.78	26.69	22.82	0.3772	0.3763	510.38	
前20年平均	0.52	4.60	0.79	26.69	22.19	0.3597	0.3592	329.47	
2025	0.52	4.56	0.82	27.40	22.41	0.3570	0.3538	224.68	

数据来源: Sentinel 和 Landsat 卫星数据 ECMWF 华泰期货研究院

图 8: 加里曼丹棕榈 6 月长势和环境指标对比

名称	年份	EVI	LAI	NDVI	最高气温(°C)	最低气温(°C)	土壤25cm体 积含水	土壤5cm体 积含水	累积降水 (mm)
Kalimantan	2005	0.47	4.41	0.76	27.22	22.95	0.3295	0.3293	217.73
	2006	0.45	4.01	0.71	26.41	22.57	0.3393	0.3368	263.74
	2007	0.45	3.75	0.71	26.80	22.99	0.3415	0.3395	268.02
	2008	0.49	4.20	0.76	26.46	22.34	0.3361	0.3323	201.77
	2009	0.48	4.54	0.74	27.47	22.82	0.3191	0.3174	152.61
	2010	0.50	4.33	0.76	27.00	23.00	0.3475	0.3459	273.27
	2011	0.48	4.21	0.73	27.44	22.35	0.3256	0.3213	152.63
	2012	0.48	4.17	0.73	27.34	22.25	0.3252	0.3222	144.07
	2013	0.50	4.54	0.76	28.27	22.73	0.3280	0.3239	139.61
	2014	0.47	4.33	0.73	27.97	23.07	0.3387	0.3363	199.96
	2015	0.47	3.95	0.72	27.30	22.60	0.3348	0.3325	193.08
	2016	0.49	4.15	0.77	27.43	22.66	0.3437	0.3409	215.43
	2017	0.49	4.01	0.76	27.16	22.57	0.3442	0.3422	240.43
	2018	0.47	4.19	0.71	27.51	22.65	0.3307	0.3283	183.46
	2019	0.49	4.09	0.74	27.18	22.84	0.3441	0.3418	253.39
	2020	0.48	4.01	0.73	27.38	22.80	0.3380	0.3364	244.15
	2021	0.50	4.52	0.76	27.80	22.52	0.3246	0.3241	174.38
2022	0.49	4.16	0.73	27.25	22.36	0.3386	0.3385	255.14	
2023	0.48	4.38	0.75	27.88	23.00	0.3306	0.3288	185.00	
2024	0.44	3.35	0.68	27.56	23.33	0.3460	0.3443	272.79	
前20年平均	0.48	4.16	0.74	27.34	22.72	0.3353	0.3331	211.53	
2025	0.49	4.00	0.78	27.53	23.06	0.3397	0.3374	231.27	

数据来源: Sentinel 和 Landsat 卫星数据 ECMWF 华泰期货研究院

图 9: 苏门答腊棕榈 6 月长势和环境指标对比

名称	年份	EVI	LAI	NDVI	最高气温(°C)	最低气温(°C)	土壤25cm体 积含水	土壤5cm体 积含水	累积降水 (mm)
Sumatra	2005	0.48	3.83	0.75	27.30	22.42	0.3280	0.3254	170.35
	2006	0.45	3.45	0.69	26.86	22.10	0.3296	0.3287	220.57
	2007	0.48	3.64	0.74	26.98	22.38	0.3287	0.3288	219.09
	2008	0.47	3.65	0.74	26.38	22.00	0.3119	0.3144	219.80
	2009	0.49	4.16	0.75	26.99	22.23	0.3255	0.3255	190.34
	2010	0.48	3.62	0.75	26.51	22.39	0.3537	0.3534	260.98
	2011	0.48	4.07	0.74	26.99	22.14	0.3400	0.3368	162.62
	2012	0.48	4.35	0.75	27.23	21.81	0.3287	0.3219	95.89
	2013	0.49	4.19	0.77	27.68	22.13	0.3314	0.3265	138.99
	2014	0.49	4.28	0.75	27.57	22.49	0.3384	0.3340	151.14
	2015	0.50	4.02	0.77	26.98	22.18	0.3416	0.3370	192.53
	2016	0.49	4.36	0.78	27.41	22.56	0.3411	0.3382	153.63
	2017	0.49	4.26	0.75	27.08	22.36	0.3417	0.3389	170.10
	2018	0.47	3.45	0.71	26.99	22.35	0.3398	0.3370	172.48
	2019	0.48	3.72	0.74	27.00	22.74	0.3481	0.3453	214.49
	2020	0.49	3.78	0.75	27.01	22.60	0.3469	0.3446	192.58
	2021	0.50	4.26	0.77	27.71	22.45	0.3293	0.3265	141.41
2022	0.50	3.81	0.78	26.72	22.36	0.3534	0.3520	298.97	
2023	0.50	4.06	0.76	27.33	22.83	0.3447	0.3415	230.45	
2024	0.48	3.85	0.77	27.38	23.08	0.3573	0.3560	293.81	
前20年平均	0.48	3.94	0.75	27.10	22.38	0.3380	0.3356	194.51	
2025	0.50	3.98	0.78	27.95	22.78	0.3267	0.3209	109.67	

数据来源: Sentinel 和 Landsat 卫星数据 ECMWF 华泰期货研究院

温度方面，温度整体微升（升幅 1%-3%），未达极端水平。各产区最高气温均小幅上升，苏门答腊升幅最大（27.95°C较平均 27.10°C升 3.1%），马来半岛次之（28.17°C较 27.71°C升 1.7%），最低气温波动较小（±1%），整体处于棕榈适宜生长范围（25-30°C），未对生长造成胁迫。

美国大豆、玉米产区状况

利用卫星遥感技术对主产区往年种植大豆玉米的长势和环境信息进行了监测，相较历史年份，2025 年 6 月全域天气状况良好，但降水呈现一定的区域差异，北达科他和内布拉斯加受降水偏少影响土壤墒情较差，其中北达科他作物长势已经存在一定负反馈，需要重点关注后期发展。

图 10：北达科他大豆玉米带 6 月长势和环境对比

名称	年份	EVI	LAI	NDVI	最高气温(°C)	最低气温(°C)	土壤25cm体 积含水	土壤5cm体 积含水	累积降水 (mm)
North Dakota	2005	0.47	16.45	0.69	20.51	16.35	0.3008	0.3010	147.38
	2006	0.44	16.49	0.66	22.55	16.91	0.1857	0.1902	56.27
	2007	0.47	18.22	0.69	21.62	16.67	0.2704	0.2688	134.27
	2008	0.41	13.81	0.61	19.60	14.29	0.2204	0.2317	111.91
	2009	0.40	10.74	0.60	19.59	14.21	0.2309	0.2286	94.35
	2010	0.45	15.55	0.67	19.77	15.13	0.2573	0.2621	106.49
	2011	0.36	10.81	0.58	17.98	13.86	0.3372	0.3356	178.60
	2012	0.48	19.51	0.68	21.53	16.13	0.2470	0.2488	69.60
	2013	0.37	9.82	0.56	19.00	14.62	0.3257	0.3206	144.92
	2014	0.39	9.86	0.59	18.08	14.12	0.3393	0.3350	187.82
	2015	0.45	16.03	0.65	20.05	15.34	0.3096	0.3072	118.68
	2016	0.47	18.39	0.67	21.73	16.47	0.2620	0.2579	81.17
	2017	0.39	11.85	0.58	21.26	15.75	0.2303	0.2275	66.50
	2018	0.46	15.42	0.65	22.46	17.20	0.2619	0.2677	146.50
	2019	0.36	10.36	0.55	20.22	15.13	0.2809	0.2752	114.94
	2020	0.38	11.88	0.58	21.62	16.64	0.2880	0.2845	142.70
	2021	0.36	10.52	0.54	24.39	18.32	0.2217	0.2276	107.98
	2022	0.37	9.67	0.57	20.40	15.50	0.3100	0.3005	75.28
	2023	0.43	13.65	0.62	22.89	18.04	0.2898	0.2915	134.31
	2024	0.42	14.39	0.62	20.33	15.12	0.2591	0.2586	88.73
前20年平均	0.42	13.67	0.62	20.78	15.79	0.2714	0.2710	115.42	
2025	0.35	11.97	0.53	21.00	15.54	0.2376	0.2329	48.75	

数据来源：Sentinel 和 Landsat 卫星数据 ECMWF 华泰期货研究院

图 11：南达科他大豆玉米带 6 月长势和环境对比

名称	年份	EVI	LAI	NDVI	最高气温(°C)	最低气温(°C)	土壤25cm体 积含水	土壤5cm体 积含水	累积降水 (mm)
South Dakota	2005	0.43	14.75	0.63	23.82	19.15	0.2728	0.2739	136.69
	2006	0.37	11.50	0.57	25.98	19.12	0.1560	0.1732	40.74
	2007	0.44	15.86	0.64	23.82	18.77	0.2585	0.2581	108.49
	2008	0.41	13.81	0.60	21.93	16.34	0.2471	0.2469	131.43
	2009	0.42	11.65	0.62	21.62	16.16	0.2176	0.2384	101.33
	2010	0.42	14.00	0.63	22.41	17.40	0.2627	0.2695	140.85
	2011	0.39	13.25	0.61	20.85	16.07	0.3098	0.3089	170.32
	2012	0.43	13.71	0.61	25.79	19.48	0.2041	0.2166	51.12
	2013	0.41	11.51	0.58	21.58	16.62	0.2882	0.2850	95.24
	2014	0.41	12.86	0.61	20.83	15.96	0.3238	0.3250	153.96
	2015	0.44	12.93	0.63	22.35	17.39	0.2960	0.2983	111.42
	2016	0.41	14.13	0.60	25.70	19.95	0.2416	0.2371	53.80
	2017	0.36	9.82	0.53	24.34	18.25	0.2259	0.2344	77.48
	2018	0.44	12.31	0.63	24.44	19.24	0.2572	0.2645	155.74
	2019	0.34	10.91	0.54	21.78	16.87	0.3345	0.3318	132.82
	2020	0.42	13.44	0.61	24.43	19.36	0.2885	0.2880	154.11
	2021	0.39	11.09	0.56	26.45	20.30	0.2323	0.2295	50.87
	2022	0.39	11.67	0.58	24.72	18.76	0.2349	0.2338	37.34
	2023	0.44	12.25	0.62	25.07	19.47	0.2506	0.2529	98.05
	2024	0.38	11.26	0.57	23.05	17.85	0.2719	0.2729	126.51
前20年平均	0.41	12.63	0.60	23.55	18.13	0.2587	0.2619	106.42	
2025	0.34	10.43	0.53	24.86	18.76	0.2165	0.2229	67.14	

数据来源：Sentinel 和 Landsat 卫星数据 ECMWF 华泰期货研究院

图 12：内布拉斯加大豆玉米带 6 月长势和环境对比

名称	年份	EVI	LAI	NDVI	最高气温(°C)	最低气温(°C)	土壤25cm体 积含水	土壤5cm体 积含水	累积降水 (mm)
Nebraska	2005	0.45	10.99	0.63	26.32	20.73	0.2323	0.2317	93.81
	2006	0.44	10.30	0.62	28.48	21.34	0.1498	0.1702	44.35
	2007	0.46	11.27	0.63	24.64	19.46	0.2459	0.2368	71.35
	2008	0.40	10.02	0.57	24.66	18.87	0.2446	0.2404	55.85
	2009	0.48	11.12	0.66	23.80	18.49	0.2374	0.2523	148.04
	2010	0.47	11.16	0.66	25.68	20.25	0.2553	0.2540	101.61
	2011	0.42	9.76	0.60	24.81	19.07	0.2375	0.2225	39.71
	2012	0.48	12.27	0.64	28.94	22.13	0.1775	0.1846	54.53
	2013	0.42	9.43	0.57	25.69	19.65	0.2213	0.2157	47.72
	2014	0.45	10.52	0.63	24.62	18.79	0.2402	0.2472	135.46
	2015	0.47	10.89	0.63	24.41	19.56	0.2806	0.2783	121.75
	2016	0.46	11.72	0.63	27.82	21.88	0.2481	0.2320	47.60
	2017	0.42	9.93	0.58	26.36	20.27	0.2309	0.2208	46.79
	2018	0.51	12.85	0.68	28.07	22.01	0.2182	0.2181	102.16
	2019	0.44	9.63	0.63	23.18	18.32	0.3217	0.3182	163.65
	2020	0.45	10.77	0.61	27.26	21.57	0.2437	0.2400	90.23
	2021	0.48	10.92	0.64	27.08	21.23	0.2414	0.2324	57.78
	2022	0.41	8.95	0.57	27.82	21.31	0.1863	0.1880	39.31
	2023	0.51	12.14	0.67	26.44	20.17	0.1985	0.2112	72.62
	2024	0.49	10.98	0.65	27.34	21.45	0.2248	0.2275	79.29
前20年平均	0.45	10.78	0.63	26.17	20.33	0.2318	0.2311	80.68	
2025	0.42	9.99	0.57	27.04	20.96	0.2192	0.2182	75.32	

数据来源：Sentinel 和 Landsat 卫星数据 ECMWF 华泰期货研究院

图 13：堪萨斯大豆玉米带 6 月长势和环境对比

名称	年份	EVI	LAI	NDVI	最高气温(°C)	最低气温(°C)	土壤25cm体 积含水	土壤5cm体 积含水	累积降水 (mm)
Kansas	2005	0.32	9.94	0.48	28.85	22.63	0.2116	0.2146	58.23
	2006	0.30	8.59	0.45	30.65	23.54	0.1491	0.1771	41.76
	2007	0.34	9.48	0.49	25.80	20.63	0.2419	0.2427	138.54
	2008	0.32	10.40	0.47	29.03	22.43	0.1891	0.1947	51.41
	2009	0.34	10.32	0.51	28.04	22.13	0.2207	0.2268	68.06
	2010	0.34	10.93	0.50	30.46	24.48	0.2150	0.2089	67.01
	2011	0.30	8.97	0.44	30.79	23.54	0.1776	0.1765	39.89
	2012	0.30	8.08	0.42	31.22	24.11	0.1558	0.1743	34.23
	2013	0.30	8.96	0.43	29.51	22.95	0.1912	0.2002	50.06
	2014	0.35	9.01	0.49	27.76	21.76	0.2110	0.2229	137.65
	2015	0.33	10.04	0.47	28.02	22.47	0.2661	0.2529	87.74
	2016	0.34	10.08	0.49	30.12	23.83	0.2168	0.2064	40.79
	2017	0.33	9.49	0.46	28.18	22.13	0.2343	0.2201	59.26
	2018	0.36	10.40	0.51	31.93	25.05	0.1655	0.1774	40.06
	2019	0.35	10.84	0.52	25.81	20.36	0.2918	0.2828	102.46
	2020	0.33	9.21	0.46	30.05	23.78	0.2023	0.2067	60.52
	2021	0.33	9.79	0.49	28.61	22.75	0.2428	0.2314	69.09
	2022	0.31	8.87	0.45	29.01	22.86	0.2108	0.2073	64.02
	2023	0.38	11.38	0.54	27.56	21.17	0.2128	0.2157	67.59
	2024	0.37	9.79	0.52	30.55	24.23	0.1816	0.1999	42.17
前20年平均	0.33	9.73	0.48	29.10	22.84	0.2094	0.2120	66.03	
2025	0.32	9.29	0.48	28.58	22.63	0.2271	0.2193	86.35	

数据来源：Sentinel 和 Landsat 卫星数据 ECMWF 华泰期货研究院

具体来看，美国大豆玉米产区植被指数（EVI、LAI、NDVI）较前 20 年平均呈现明显

区域差异，与水热条件密切相关。Illinois 的 EVI (0.49) 下降 2.0%、NDVI (0.68) 下降 1.4%，LAI (12.48) 上升 2.9%，整体长势中等，与 2016 年 (EVI0.54、LAI14.81、NDVI0.70) 相似，叶面积和植被活力维持稳定；NorthDakota 长势最差，EVI (0.35) 下降 16.7%、LAI (11.97) 下降 12.4%、NDVI (0.53) 下降 14.5%，与 2011 年 (EVI0.36、LAI10.81、NDVI0.58) 特征一致，两年均因降水显著不足 (2025 年 48.75mm 降 57.7%) 导致干旱，作物叶面积缩减、活力下降，且 2025 年略升的温度 (21.00°C) 进一步加剧长势衰退；Iowa 长势略优，EVI (0.51) 上升 2.0%，与 2020 年 (EVI0.50、LAI12.05) 相似，长势优于平均。其余区域基本保持稳定。

图 14: 爱荷华大豆玉米带 6 月长势和环境对比

名称	年份	EVI	LAI	NDVI	最高气温(°C)	最低气温(°C)	土壤25cm体 积含水	土壤5cm体 积含水	累积降水 (mm)
Iowa	2005	0.53	11.23	0.72	26.13	20.85	0.2277	0.2331	89.53
	2006	0.50	11.39	0.69	25.81	19.61	0.1758	0.1809	31.18
	2007	0.52	12.35	0.71	24.37	19.39	0.2500	0.2437	67.44
	2008	0.41	8.48	0.59	22.73	18.24	0.3224	0.3199	135.30
	2009	0.50	10.03	0.70	22.92	18.37	0.2923	0.2942	153.75
	2010	0.54	12.41	0.74	24.13	19.58	0.3094	0.3116	136.36
	2011	0.48	9.54	0.69	22.79	18.36	0.2971	0.2935	89.77
	2012	0.55	14.82	0.74	25.83	20.08	0.2127	0.2162	61.56
	2013	0.39	7.44	0.57	22.33	18.11	0.3292	0.3266	117.23
	2014	0.49	10.05	0.70	23.54	18.91	0.2960	0.2973	169.72
	2015	0.53	11.08	0.71	23.11	18.68	0.3096	0.3087	144.78
	2016	0.55	14.16	0.74	25.77	20.35	0.2652	0.2615	71.81
	2017	0.50	10.76	0.70	25.06	19.36	0.2531	0.2510	88.40
	2018	0.56	13.54	0.74	26.09	20.95	0.2528	0.2576	126.14
	2019	0.45	7.76	0.65	22.60	18.29	0.3392	0.3380	162.17
	2020	0.50	12.05	0.68	24.96	20.18	0.2984	0.2952	144.82
	2021	0.51	10.65	0.69	25.78	20.61	0.2810	0.2789	112.26
	2022	0.49	9.84	0.66	24.57	19.41	0.2829	0.2801	100.81
	2023	0.54	12.61	0.73	24.91	19.23	0.2527	0.2536	97.14
	2024	0.49	10.89	0.70	24.90	20.14	0.2874	0.2902	156.03
前20年平均	0.50	11.05	0.69	24.42	19.44	0.2767	0.2766	112.81	
2025	0.51	11.20	0.66	25.17	20.35	0.2805	0.2811	181.09	

数据来源: Sentinel 和 Landsat 卫星数据 ECMWF 华泰期货研究院

图 15: 密苏里大豆玉米带 6 月长势和环境对比

名称	年份	EVI	LAI	NDVI	最高气温(°C)	最低气温(°C)	土壤25cm体 积含水	土壤5cm体 积含水	累积降水 (mm)
Missouri	2005	0.50	15.31	0.70	28.48	22.51	0.2188	0.2190	29.55
	2006	0.49	14.47	0.67	27.89	21.49	0.1919	0.2052	44.40
	2007	0.49	13.68	0.68	26.14	21.14	0.2536	0.2580	123.31
	2008	0.43	12.75	0.61	26.33	21.35	0.2879	0.2857	103.11
	2009	0.44	13.30	0.63	26.32	21.44	0.3158	0.3131	101.98
	2010	0.49	13.70	0.66	28.24	23.25	0.3012	0.2944	70.23
	2011	0.47	12.96	0.65	27.79	22.25	0.2493	0.2460	43.24
	2012	0.47	13.93	0.65	29.00	22.25	0.2185	0.1854	25.47
	2013	0.42	11.29	0.58	25.15	20.37	0.3218	0.3168	87.04
	2014	0.51	12.30	0.70	25.75	21.12	0.2772	0.2843	144.22
	2015	0.45	11.97	0.64	25.69	21.30	0.3275	0.3281	178.38
	2016	0.50	14.71	0.67	28.48	22.77	0.2585	0.2556	56.46
	2017	0.51	13.77	0.70	26.79	21.07	0.2524	0.2520	64.18
	2018	0.54	15.71	0.71	29.91	23.70	0.2018	0.2117	44.31
	2019	0.42	10.95	0.59	25.03	20.26	0.3291	0.3278	118.46
	2020	0.47	13.00	0.62	26.80	21.60	0.2977	0.2939	85.89
	2021	0.47	11.30	0.64	26.51	21.64	0.3069	0.3058	155.51
	2022	0.48	13.19	0.66	27.39	21.79	0.2692	0.2648	65.61
	2023	0.51	14.71	0.69	27.01	20.57	0.2356	0.2350	51.06
	2024	0.55	15.19	0.72	27.81	22.40	0.2636	0.2645	89.78
前20年平均	0.48	13.41	0.66	27.13	21.71	0.2671	0.2673	84.11	
2025	0.48	13.27	0.67	26.56	21.67	0.2986	0.3007	157.47	

数据来源: Sentinel 和 Landsat 卫星数据 ECMWF 华泰期货研究院

图 16: 伊利诺伊大豆玉米带 6 月长势和环境对比

名称	年份	EVI	LAI	NDVI	最高气温(°C)	最低气温(°C)	土壤25cm体 积含水	土壤5cm体 积含水	累积降水 (mm)
Illinois	2005	0.51	13.27	0.71	27.74	22.00	0.1975	0.1906	29.26
	2006	0.50	12.55	0.70	25.10	19.60	0.2238	0.2308	84.97
	2007	0.58	13.63	0.76	25.87	20.60	0.2295	0.2344	95.77
	2008	0.42	9.82	0.60	25.17	20.51	0.2922	0.2900	123.60
	2009	0.40	8.62	0.59	24.65	20.09	0.3268	0.3259	117.39
	2010	0.57	15.41	0.74	26.52	21.89	0.3147	0.3148	119.08
	2011	0.46	9.90	0.65	24.80	20.13	0.3131	0.3114	130.18
	2012	0.51	15.31	0.70	26.57	20.41	0.2021	0.1977	20.06
	2013	0.42	8.93	0.61	23.63	19.23	0.3451	0.3435	150.55
	2014	0.55	13.14	0.72	24.40	19.96	0.3252	0.3258	153.68
	2015	0.54	12.81	0.73	23.98	19.69	0.3306	0.3318	255.29
	2016	0.54	14.81	0.70	26.59	21.30	0.2704	0.2671	64.86
	2017	0.49	10.89	0.67	25.21	19.91	0.2764	0.2705	78.63
	2018	0.63	18.34	0.80	26.36	21.39	0.2992	0.2990	144.26
	2019	0.37	6.99	0.55	23.29	18.90	0.3499	0.3489	201.52
	2020	0.45	10.50	0.63	25.18	20.16	0.2907	0.2879	87.80
	2021	0.54	11.53	0.71	25.41	20.80	0.3125	0.3125	223.38
	2022	0.52	10.86	0.70	25.45	20.16	0.2950	0.2906	74.11
	2023	0.54	12.50	0.72	25.36	19.13	0.2216	0.2142	40.59
	2024	0.52	12.73	0.69	25.91	20.94	0.2749	0.2722	94.87
前20年平均	0.50	12.13	0.69	25.36	20.34	0.2846	0.2830	114.49	
2025	0.49	12.48	0.68	25.44	20.92	0.3103	0.3101	158.68	

数据来源: Sentinel 和 Landsat 卫星数据 ECMWF 华泰期货研究院

图 17: 印第安纳大豆玉米带 6 月长势和环境对比

名称	年份	EVI	LAI	NDVI	最高气温(°C)	最低气温(°C)	土壤25cm体 积含水	土壤5cm体 积含水	累积降水 (mm)
Indiana	2005	0.51	11.86	0.68	25.81	20.85	0.2468	0.2410	68.44
	2006	0.46	10.55	0.63	23.55	18.41	0.2747	0.2750	85.81
	2007	0.52	11.31	0.68	25.39	20.08	0.2257	0.2256	60.72
	2008	0.44	10.17	0.62	24.76	19.97	0.3035	0.3020	146.13
	2009	0.44	9.34	0.61	24.15	19.63	0.3216	0.3207	138.22
	2010	0.55	14.87	0.73	25.97	21.45	0.3091	0.3094	101.40
	2011	0.43	9.14	0.59	24.18	19.52	0.3197	0.3175	108.59
	2012	0.47	12.93	0.64	25.75	19.68	0.2073	0.2008	18.00
	2013	0.48	10.38	0.62	23.35	18.85	0.3251	0.3236	135.05
	2014	0.50	11.86	0.67	23.94	19.62	0.3376	0.3380	168.18
	2015	0.46	10.07	0.65	23.28	19.09	0.3454	0.3458	275.72
	2016	0.44	11.50	0.60	25.25	20.09	0.2776	0.2732	64.21
	2017	0.47	9.78	0.63	23.83	18.87	0.3101	0.3059	116.59
	2018	0.59	16.19	0.77	25.08	20.50	0.3234	0.3228	170.17
	2019	0.36	7.59	0.53	22.57	18.29	0.3556	0.3548	185.71
	2020	0.47	11.10	0.63	24.71	19.55	0.2764	0.2732	77.32
	2021	0.51	10.96	0.67	24.76	20.17	0.3004	0.3009	173.45
	2022	0.46	10.09	0.64	24.77	19.25	0.2939	0.2887	76.39
	2023	0.50	10.05	0.67	23.53	17.65	0.2419	0.2350	56.39
	2024	0.49	11.98	0.64	25.26	20.05	0.2781	0.2726	64.40
前20年平均	0.48	11.09	0.64	24.49	19.58	0.2937	0.2913	114.54	
2025	0.47	10.47	0.62	24.77	20.37	0.3344	0.3340	184.32	

数据来源: Sentinel 和 Landsat 卫星数据 ECMWF 华泰期货研究院

降水与土壤湿度方面，土壤湿度 (25cm 和 5cm 体积含水) 较前 20 年平均普遍上升，且表层 (5cm) 对降水的响应比深层 (25cm) 更即时，为作物长势提供了水分基础。

Indiana 的 25cm 含水 (0.3344) 上升 13.8%、5cm 含水 (0.3340) 上升 14.7%，湿度水

平与2014年(25cm0.3376、5cm0.3380)接近,两年降水均显著偏多(2025年184.32mm升61.0%,2014年168.18mm),充足的水分通过根系吸收直接支撑作物长势;Ohio的25cm含水(0.3351)上升13.6%、5cm含水(0.3354)上升14.2%,与2019年(25cm0.3477、5cm0.3480)相似,两年降水偏多(2025年168.77mm升56.8%)且温度未达极端,减少了干旱胁迫,土壤保水能力增强利于作物持续吸水;但Nebraska土壤湿度下降(25cm降5.4%、5cm降5.6%),与2006年(25cm0.1498、5cm0.1702)相似,降水不足(2025年75.32mm降6.6%)导致土壤干燥,可能抑制作物根系吸水,间接影响长势,需要重点关注。

图 18: 俄亥俄大豆玉米带 6 月长势和环境对比

名称	年份	EVI	LAI	NDVI	最高气温(°C)	最低气温(°C)	土壤25cm体积含水	土壤5cm体积含水	累积降水(mm)
Ohio	2005	0.45	10.20	0.60	24.85	20.08	0.2573	0.2519	79.76
	2006	0.45	10.78	0.63	22.15	17.26	0.2874	0.2871	93.90
	2007	0.46	10.70	0.60	24.47	18.92	0.2296	0.2273	58.19
	2008	0.42	10.57	0.59	23.98	19.18	0.2959	0.2953	121.88
	2009	0.44	10.08	0.61	23.38	18.32	0.2814	0.2825	86.50
	2010	0.50	12.91	0.67	24.74	20.27	0.3039	0.3041	92.68
	2011	0.37	8.37	0.51	23.21	18.41	0.3188	0.3167	86.51
	2012	0.44	11.92	0.61	24.35	18.52	0.2271	0.2252	42.15
	2013	0.48	10.57	0.62	22.51	17.97	0.3170	0.3166	132.25
	2014	0.45	9.87	0.61	23.01	18.68	0.3358	0.3357	143.91
	2015	0.47	10.74	0.65	22.32	18.34	0.3429	0.3443	281.93
	2016	0.39	10.03	0.55	24.13	18.89	0.2745	0.2704	56.83
	2017	0.44	9.06	0.60	22.71	17.84	0.3193	0.3178	122.04
	2018	0.51	12.84	0.69	23.38	19.08	0.3417	0.3422	152.43
	2019	0.35	8.35	0.49	21.79	17.57	0.3477	0.3480	176.37
	2020	0.40	9.48	0.55	23.50	18.39	0.2966	0.2946	77.85
	2021	0.47	9.83	0.62	23.99	19.35	0.2971	0.2976	110.94
	2022	0.42	9.36	0.58	23.96	18.26	0.2889	0.2865	76.62
	2023	0.45	8.84	0.60	21.91	16.34	0.2598	0.2575	91.28
	2024	0.42	10.50	0.58	24.58	19.27	0.2765	0.2733	68.35
前20年平均	0.44	10.25	0.60	23.45	18.55	0.2950	0.2937	107.62	
2025	0.38	8.48	0.51	24.09	19.58	0.3351	0.3354	168.77	

图 19: 密歇根大豆玉米带 6 月长势和环境对比

名称	年份	EVI	LAI	NDVI	最高气温(°C)	最低气温(°C)	土壤25cm体积含水	土壤5cm体积含水	累积降水(mm)
Michigan	2005	0.50	15.63	0.67	23.91	19.32	0.2290	0.2292	63.09
	2006	0.46	15.01	0.66	21.17	16.15	0.2293	0.2333	67.99
	2007	0.47	15.53	0.65	23.28	17.84	0.2202	0.2180	53.75
	2008	0.46	15.02	0.65	21.23	16.72	0.2606	0.2673	154.96
	2009	0.45	13.16	0.61	19.69	15.11	0.3013	0.3008	131.63
	2010	0.49	16.73	0.67	21.32	17.33	0.3026	0.3054	148.09
	2011	0.45	14.31	0.62	20.41	15.85	0.2935	0.2941	87.93
	2012	0.45	15.27	0.63	22.85	17.24	0.2132	0.2142	45.62
	2013	0.47	14.12	0.64	20.04	15.66	0.3133	0.3131	139.86
	2014	0.45	12.85	0.63	20.46	16.00	0.3191	0.3196	150.97
	2015	0.48	15.31	0.67	19.64	15.07	0.3147	0.3148	148.99
	2016	0.42	14.51	0.58	21.88	16.57	0.2496	0.2489	60.54
	2017	0.44	12.58	0.61	21.43	16.59	0.2915	0.2914	154.17
	2018	0.46	14.05	0.64	20.88	16.64	0.3188	0.3185	131.32
	2019	0.42	13.04	0.59	19.29	14.96	0.3468	0.3458	173.32
	2020	0.45	14.64	0.61	22.03	16.84	0.2821	0.2811	68.99
	2021	0.48	14.24	0.67	23.00	18.26	0.2549	0.2634	186.36
	2022	0.46	14.16	0.63	21.62	16.57	0.2952	0.2897	64.37
	2023	0.44	12.67	0.62	21.28	15.42	0.2192	0.2210	45.32
	2024	0.49	14.46	0.65	22.65	17.90	0.2739	0.2775	102.31
前20年平均	0.46	14.36	0.63	21.40	16.60	0.2764	0.2774	108.98	
2025	0.43	13.69	0.60	22.50	17.78	0.3030	0.3025	148.88	

数据来源: Sentinel 和 Landsat 卫星数据 ECMWF 华泰期货研究院

数据来源: Sentinel 和 Landsat 卫星数据 ECMWF 华泰期货研究院

温度方面,2025年6月温度整体微升(多数产区升幅<1.5%)。NorthDakota最高气温(21.00°C)较平均(20.78°C)微升1.1%,最低气温(15.54°C)略降1.6%;Iowa最高气温(25.17°C)升3.1%,最低气温(20.35°C)升4.7%,整体未达极端水平,对作物影响有限。

美国棉花产区状况

2025年6月美国棉花产区得益于良好的水热条件,作物长势水平较前20年平均多呈上升趋势,只有个别区域受降水过量影响,形成了一定的抑制作用。

指数方面, Mississippi的EVI(0.54)上升3.8%、NDVI(0.77)上升5.5%,LAI(2.20)下降5.2%,三项指标与2017年(EVI0.55、LAI2.15、NDVI0.76)高度接近,植被生长活力较强; Texas的EVI(0.31)上升10.7%、NDVI(0.46)上升9.5%,LAI(0.88)上升3.5%,与2019年(EVI0.31、LAI1.01、NDVI0.46)特征相似,棉花长势提升明显; Oklahoma的EVI(0.33)上升17.9%、NDVI(0.48)上升11.6%,LAI(0.92)上升7.0%,与2015年(EVI0.32、LAI0.96、NDVI0.47)接近,干旱区植被改

善显著。反之，Alabama 的 LAI (2.17) 下降 10.0%，与 2017 年 (LAI2.13) 过量降水已经对作物生长产生一定影响。

图 20: 俄克拉荷马棉花区 6 月长势和环境对比

名称	年份	EVI	LAI	NDVI	最高气温(°C)	最低气温(°C)	土壤25cm体积含水率	土壤5cm体积含水率	累积降水(mm)
Oklahoma	2005	0.29	0.98	0.45	32.86	26.43	0.1583	0.1730	12.09
	2006	0.25	0.72	0.37	33.52	26.06	0.1391	0.1391	5.21
	2007	0.33	0.92	0.50	27.08	22.65	0.2669	0.2732	219.65
	2008	0.25	0.76	0.39	34.33	27.84	0.1455	0.1585	25.29
	2009	0.30	0.99	0.44	32.55	26.35	0.1785	0.1896	66.40
	2010	0.27	0.76	0.41	33.53	27.57	0.1739	0.1752	127.59
	2011	0.21	0.55	0.30	37.04	29.80	0.1427	0.1341	2.40
	2012	0.24	0.71	0.37	31.99	25.63	0.1969	0.2064	127.52
	2013	0.22	0.63	0.34	32.58	26.02	0.1819	0.1782	45.91
	2014	0.31	0.87	0.45	31.02	25.21	0.2019	0.2028	91.49
	2015	0.32	0.96	0.47	29.28	24.23	0.2988	0.2661	85.55
	2016	0.32	1.04	0.50	30.44	24.90	0.2561	0.2377	84.35
	2017	0.30	0.90	0.45	30.47	24.60	0.1982	0.2011	59.64
	2018	0.27	0.79	0.40	34.79	28.15	0.1393	0.1512	19.35
	2019	0.31	1.03	0.48	28.97	23.49	0.2781	0.2511	44.47
	2020	0.27	0.82	0.40	32.15	25.80	0.1813	0.1747	45.44
	2021	0.32	0.90	0.49	30.27	24.80	0.2378	0.2271	110.63
	2022	0.29	0.95	0.43	33.03	26.74	0.2109	0.1872	85.67
	2023	0.31	1.09	0.49	31.20	24.73	0.2181	0.2170	71.79
	2024	0.27	0.83	0.43	32.63	26.92	0.2045	0.1973	59.33
前20年平均		0.28	0.86	0.43	31.99	25.90	0.2004	0.1970	69.49
2025		0.33	0.92	0.48	32.17	26.01	0.2005	0.1919	61.31

数据来源: Sentinel 和 Landsat 卫星数据 ECMWF 华泰期货研究院

图 21: 德克萨斯棉花区 6 月长势和环境对比

名称	年份	EVI	LAI	NDVI	最高气温(°C)	最低气温(°C)	土壤25cm体积含水率	土壤5cm体积含水率	累积降水(mm)
Texas	2005	0.28	0.96	0.43	31.96	25.32	0.1874	0.1614	16.35
	2006	0.25	0.70	0.37	32.15	25.03	0.1596	0.1459	23.09
	2007	0.33	1.04	0.49	28.71	23.17	0.2330	0.2164	91.06
	2008	0.25	0.74	0.38	33.04	26.21	0.1561	0.1429	24.24
	2009	0.27	0.80	0.41	31.74	25.29	0.1715	0.1753	70.68
	2010	0.31	1.00	0.45	32.23	26.15	0.2025	0.1771	64.74
	2011	0.22	0.54	0.31	34.63	27.01	0.1415	0.1251	7.61
	2012	0.25	0.71	0.37	32.38	25.43	0.1710	0.1671	42.28
	2013	0.25	0.70	0.36	32.07	25.18	0.1686	0.1667	34.63
	2014	0.31	0.86	0.45	30.72	24.64	0.2097	0.1971	63.73
	2015	0.33	1.07	0.48	29.34	23.83	0.2769	0.2459	94.31
	2016	0.30	1.01	0.46	30.14	24.44	0.2465	0.2231	78.77
	2017	0.28	0.86	0.42	30.76	24.63	0.2146	0.2013	78.11
	2018	0.26	0.71	0.39	32.93	26.57	0.1754	0.1724	59.79
	2019	0.31	1.01	0.46	29.72	23.82	0.2454	0.2216	74.77
	2020	0.27	0.78	0.39	31.09	24.86	0.2023	0.1787	64.62
	2021	0.32	0.96	0.46	30.68	24.75	0.2396	0.2166	88.25
	2022	0.24	0.68	0.35	32.55	25.95	0.1765	0.1630	42.77
	2023	0.31	1.02	0.45	31.93	25.04	0.2031	0.1924	37.78
	2024	0.28	0.84	0.43	32.36	26.34	0.1981	0.1917	70.97
前20年平均		0.28	0.85	0.42	31.56	25.18	0.1990	0.1841	56.43
2025		0.31	0.88	0.46	31.34	25.39	0.2080	0.1942	78.68

数据来源: Sentinel 和 Landsat 卫星数据 ECMWF 华泰期货研究院

图 22: 阿肯色棉花区 6 月长势和环境对比

名称	年份	EVI	LAI	NDVI	最高气温(°C)	最低气温(°C)	土壤25cm体积含水率	土壤5cm体积含水率	累积降水(mm)
Arkansas	2005	0.46	1.51	0.64	30.25	24.34	0.2079	0.2034	44.31
	2006	0.44	1.46	0.60	29.74	23.87	0.2072	0.2103	36.42
	2007	0.48	1.46	0.67	30.01	24.56	0.2089	0.2158	56.95
	2008	0.41	1.28	0.57	30.57	25.03	0.2258	0.2053	27.03
	2009	0.41	1.36	0.56	29.14	24.40	0.3212	0.3006	44.69
	2010	0.50	1.58	0.65	32.26	26.77	0.2329	0.2195	42.11
	2011	0.40	1.26	0.56	32.61	26.68	0.2371	0.2113	28.85
	2012	0.52	1.76	0.68	30.80	24.36	0.1817	0.1763	7.26
	2013	0.42	1.37	0.57	28.52	23.56	0.2998	0.2821	71.81
	2014	0.44	1.19	0.62	26.94	22.99	0.3479	0.3436	203.65
	2015	0.50	1.48	0.65	28.36	23.80	0.3084	0.2973	54.97
	2016	0.48	1.67	0.66	29.03	24.41	0.3062	0.2944	95.82
	2017	0.52	1.57	0.71	27.14	22.72	0.3102	0.3049	162.72
	2018	0.51	1.71	0.69	30.90	25.50	0.2416	0.2400	53.25
	2019	0.44	1.23	0.63	27.41	22.94	0.3065	0.2971	139.91
	2020	0.45	1.38	0.62	27.97	23.15	0.2843	0.2731	124.71
	2021	0.49	1.34	0.64	27.53	23.30	0.3298	0.3220	175.96
	2022	0.47	1.51	0.64	30.60	24.73	0.2410	0.2153	16.80
	2023	0.55	1.87	0.73	29.11	23.45	0.2611	0.2447	83.21
	2024	0.54	1.85	0.74	28.99	23.99	0.2893	0.2782	73.85
前20年平均		0.47	1.49	0.64	29.39	24.23	0.2675	0.2568	77.21
2025		0.50	1.58	0.69	28.49	24.34	0.3436	0.3390	160.44

数据来源: Sentinel 和 Landsat 卫星数据 ECMWF 华泰期货研究院

图 23: 密西西比棉花区 6 月长势和环境对比

名称	年份	EVI	LAI	NDVI	最高气温(°C)	最低气温(°C)	土壤25cm体积含水率	土壤5cm体积含水率	累积降水(mm)
Mississippi	2005	0.50	2.40	0.71	29.43	23.71	0.2643	0.2544	64.32
	2006	0.50	2.28	0.68	30.10	23.76	0.2401	0.2222	34.43
	2007	0.52	2.28	0.73	30.52	24.61	0.2359	0.2274	52.37
	2008	0.49	2.30	0.70	30.18	24.56	0.2720	0.2485	41.57
	2009	0.51	2.36	0.70	30.14	24.64	0.3178	0.2949	34.60
	2010	0.55	2.50	0.75	32.43	26.70	0.2483	0.2346	52.06
	2011	0.49	2.38	0.71	32.78	26.49	0.2537	0.2313	79.50
	2012	0.54	2.54	0.74	29.83	23.67	0.2481	0.2345	27.50
	2013	0.50	2.28	0.70	28.76	23.72	0.3183	0.3093	119.80
	2014	0.51	1.83	0.70	27.40	23.19	0.3532	0.3514	200.92
	2015	0.53	2.28	0.73	28.76	23.69	0.3229	0.3147	52.83
	2016	0.52	2.41	0.74	29.32	24.09	0.3106	0.3074	122.19
	2017	0.55	2.15	0.76	26.94	22.48	0.3313	0.3314	180.66
	2018	0.55	2.52	0.74	30.43	24.81	0.2865	0.2817	72.46
	2019	0.50	2.06	0.70	27.88	23.00	0.3230	0.3166	105.84
	2020	0.52	2.16	0.71	28.14	23.06	0.3067	0.3005	125.79
	2021	0.54	2.08	0.74	27.48	23.00	0.3594	0.3577	244.84
	2022	0.56	2.51	0.74	31.11	24.84	0.2732	0.2532	27.46
	2023	0.57	2.68	0.78	29.31	23.49	0.2983	0.2875	106.00
	2024	0.55	2.48	0.78	29.36	23.86	0.3084	0.3008	87.49
前20年平均		0.52	2.32	0.73	29.52	24.07	0.2936	0.2830	91.63
2025		0.54	2.20	0.77	28.79	24.13	0.3594	0.3572	187.38

数据来源: Sentinel 和 Landsat 卫星数据 ECMWF 华泰期货研究院

土壤湿度 (25cm 和 5cm 体积含水率) 整体高于常年, 深层 (25cm) 升幅更明显。Arkansas 的 25cm 含水 (0.3436) 上升 28.5%、5cm 含水 (0.3390) 上升 32.0%, 与 2014 年 (25cm0.3479、5cm0.3436) 高湿度特征几乎一致; Tennessee 的 25cm 含水 (0.3428) 上升 23.6%、5cm 含水 (0.3433) 上升 24.9%, 与 2014 年 (25cm0.3422、5cm0.3425) 土壤湿润状况相似; Mississippi 的 25cm 含水 (0.3594) 与 2021 年持平 (0.3594), 5cm 含水 (0.3572) 略低于 2021 年 (0.3577), 土壤湿度维持在高位。仅 Oklahoma 的 5cm 含水 (0.1919) 下降 2.6%, 与 2018 年 (0.1512) 表层偏干特征有一定相似性。

图 24: 田纳西棉花区 6 月长势和环境对比

名称	年份	EVI	LAI	NDVI	最高气温(°C)	最低气温(°C)	土壤25cm体积含水	土壤5cm体积含水	累积降水(mm)
Tennessee	2005	0.54	2.32	0.72	27.53	22.09	0.2513	0.2499	81.71
	2006	0.51	2.21	0.68	28.51	22.35	0.2200	0.2163	37.64
	2007	0.50	2.00	0.69	29.82	23.43	0.1813	0.1862	27.84
	2008	0.48	2.16	0.69	28.60	23.20	0.2631	0.2540	42.92
	2009	0.50	2.13	0.68	28.18	23.17	0.3128	0.3070	38.29
	2010	0.52	2.29	0.71	30.47	25.24	0.2695	0.2627	32.45
	2011	0.50	1.98	0.67	30.16	24.41	0.2638	0.2572	49.80
	2012	0.52	2.23	0.70	29.08	22.31	0.2038	0.1973	12.65
	2013	0.49	2.18	0.68	26.84	22.01	0.3256	0.3220	97.79
	2014	0.52	1.61	0.70	26.29	22.13	0.3422	0.3425	216.27
	2015	0.53	2.13	0.70	27.33	22.63	0.3142	0.3113	76.58
	2016	0.51	2.30	0.71	28.35	23.19	0.2946	0.2928	89.62
	2017	0.55	2.17	0.75	26.56	21.38	0.3065	0.3070	131.08
	2018	0.56	2.41	0.74	29.27	23.42	0.2774	0.2791	97.70
	2019	0.53	2.01	0.74	26.39	21.56	0.3050	0.3060	121.67
	2020	0.51	2.25	0.71	27.24	21.95	0.2765	0.2775	74.13
	2021	0.55	2.02	0.73	26.75	22.08	0.3218	0.3214	172.37
	2022	0.52	2.35	0.69	29.45	22.95	0.2430	0.2330	16.52
	2023	0.55	2.32	0.73	27.20	20.98	0.2641	0.2632	47.25
	2024	0.53	2.27	0.74	27.90	22.48	0.3112	0.3075	99.90
前20年平均	0.52	2.17	0.71	28.10	22.65	0.2774	0.2747	78.21	
2025	0.54	2.07	0.73	27.70	23.00	0.3428	0.3433	184.71	

数据来源: Sentinel 和 Landsat 卫星数据 ECMWF 华泰期货研究院

2025 年 6 月多数产区温度略升, 降水显著增加。Tennessee 的降水 (184.71mm) 上升 136.2%, 最高温 (27.70°C) 下降 1.4%, 与 2014 年 (降水 216.27mm、最高温 26.29°C) 多雨凉爽特征相似; Georgia 的降水 (189.41mm) 上升 40.2%, 温度 (29.20°C) 与均值持平, 与 2019 年 (降水 281.48mm、最高温 28.46°C) 多雨模式一致; Texas 的降水 (78.68mm) 上升 39.4%, 温度 (31.34°C) 微降 0.7%, 与 2021 年 (降水 88.25mm、最高温 30.68°C) 温雨匹配度接近。仅 Oklahoma 的降水 (61.31mm) 下降 11.8%, 与 2013 年 (45.91mm) 降水偏少特征相似, 但温度 (32.17°C) 略高。

图 25: 阿拉巴马棉花区 6 月长势和环境对比

名称	年份	EVI	LAI	NDVI	最高气温(°C)	最低气温(°C)	土壤25cm体积含水	土壤5cm体积含水	累积降水(mm)
Alabama	2005	0.50	2.42	0.72	27.34	22.38	0.3087	0.3055	203.71
	2006	0.46	2.48	0.68	29.44	22.87	0.2468	0.2228	25.70
	2007	0.45	2.24	0.66	29.67	23.49	0.2266	0.2071	64.41
	2008	0.48	2.46	0.71	29.61	23.59	0.2593	0.2503	94.33
	2009	0.48	2.51	0.69	30.06	24.19	0.3053	0.2924	56.65
	2010	0.52	2.67	0.74	30.59	25.00	0.2824	0.2755	92.25
	2011	0.46	2.40	0.69	31.37	24.81	0.2473	0.2239	57.64
	2012	0.48	2.41	0.70	28.21	22.48	0.2745	0.2625	87.43
	2013	0.49	2.28	0.70	27.80	23.01	0.3112	0.3126	170.90
	2014	0.50	2.18	0.72	28.01	23.05	0.3166	0.3153	153.67
	2015	0.50	2.45	0.73	29.07	23.49	0.2977	0.2922	82.90
	2016	0.49	2.61	0.72	29.57	23.80	0.2663	0.2597	89.66
	2017	0.49	2.13	0.73	26.43	22.15	0.3177	0.3197	286.37
	2018	0.51	2.56	0.74	29.02	23.88	0.3040	0.3011	124.80
	2019	0.51	2.37	0.72	28.44	23.37	0.2915	0.2874	165.94
	2020	0.51	2.30	0.73	27.63	22.75	0.2886	0.2859	167.48
	2021	0.51	2.30	0.73	27.13	22.74	0.3083	0.3084	269.18
	2022	0.49	2.57	0.73	30.69	24.50	0.2576	0.2445	34.41
	2023	0.50	2.52	0.75	27.93	22.63	0.2864	0.2820	130.08
	2024	0.50	2.29	0.74	29.33	23.85	0.2778	0.2720	110.20
前20年平均	0.49	2.41	0.72	28.87	23.40	0.2837	0.2760	123.19	
2025	0.50	2.17	0.75	28.70	23.74	0.3117	0.3120	165.21	

数据来源: Sentinel 和 Landsat 卫星数据 ECMWF 华泰期货研究院

图 26: 北卡罗来纳棉花区 6 月长势和环境对比

名称	年份	EVI	LAI	NDVI	最高气温(°C)	最低气温(°C)	土壤25cm体积含水	土壤5cm体积含水	累积降水(mm)
North Carolina	2005	0.50	2.26	0.72	25.92	21.36	0.2492	0.2514	162.85
	2006	0.53	2.63	0.74	26.34	21.21	0.2318	0.2478	204.75
	2007	0.53	2.53	0.71	27.22	21.65	0.2143	0.2162	85.82
	2008	0.49	2.62	0.68	29.88	23.89	0.1928	0.1918	39.27
	2009	0.51	2.33	0.72	27.12	22.29	0.2612	0.2624	102.44
	2010	0.53	2.76	0.72	29.72	24.55	0.2342	0.2369	78.64
	2011	0.50	2.47	0.71	29.88	23.28	0.1816	0.1776	31.46
	2012	0.50	2.60	0.70	24.85	19.55	0.2789	0.2752	69.44
	2013	0.50	2.45	0.73	25.31	21.61	0.3292	0.3307	251.52
	2014	0.50	2.44	0.72	26.62	21.69	0.2751	0.2756	97.76
	2015	0.53	2.51	0.73	28.12	23.18	0.2741	0.2708	102.05
	2016	0.50	2.69	0.74	26.42	21.80	0.3013	0.2967	132.34
	2017	0.52	2.59	0.73	26.17	21.60	0.2741	0.2755	103.78
	2018	0.50	2.52	0.73	27.37	22.86	0.3022	0.3031	134.00
	2019	0.50	2.43	0.72	26.52	21.93	0.2665	0.2716	158.73
	2020	0.48	2.37	0.74	24.83	21.20	0.3316	0.3306	172.94
	2021	0.54	2.15	0.74	25.72	21.66	0.2973	0.3038	237.33
	2022	0.48	2.46	0.71	28.00	21.95	0.2215	0.2196	67.57
	2023	0.52	2.50	0.73	25.28	20.25	0.2635	0.2693	149.11
	2024	0.51	2.33	0.70	28.55	22.56	0.2046	0.2013	42.13
前20年平均	0.51	2.48	0.72	26.99	22.00	0.2593	0.2604	121.20	
2025	0.50	2.44	0.74	28.43	23.42	0.2687	0.2698	124.65	

数据来源: Sentinel 和 Landsat 卫星数据 ECMWF 华泰期货研究院

图 27: 佐治亚棉花区 6 月长势和环境对比

名称	年份	EVI	LAI	NDVI	最高气温(°C)	最低气温(°C)	土壤25cm体积含水	土壤5cm体积含水	累积降水(mm)
Georgia	2005	0.46	2.14	0.70	26.93	23.11	0.2727	0.2787	287.53
	2006	0.47	2.47	0.68	29.48	23.40	0.1636	0.1767	80.84
	2007	0.45	2.26	0.67	29.20	23.59	0.1779	0.1897	121.37
	2008	0.47	2.35	0.67	31.16	24.61	0.1434	0.1581	44.23
	2009	0.45	2.46	0.68	29.49	24.68	0.2566	0.2477	106.32
	2010	0.48	2.49	0.71	31.16	25.69	0.1996	0.2090	73.32
	2011	0.44	2.24	0.67	32.72	25.34	0.1384	0.1510	35.20
	2012	0.46	2.23	0.70	26.98	22.00	0.2300	0.2334	132.61
	2013	0.46	2.14	0.68	27.20	23.28	0.2887	0.2957	272.17
	2014	0.47	2.28	0.68	28.05	23.32	0.2621	0.2647	97.10
	2015	0.46	2.23	0.72	29.60	24.27	0.2295	0.2347	96.02
	2016	0.49	2.49	0.71	29.97	24.33	0.2195	0.2135	90.05
	2017	0.46	2.13	0.70	27.14	22.75	0.2485	0.2613	185.36
	2018	0.47	2.46	0.72	28.64	23.93	0.2730	0.2723	122.49
	2019	0.49	2.03	0.70	28.46	23.92	0.2520	0.2586	281.48
	2020	0.48	2.14	0.70	27.68	22.98	0.2477	0.2477	122.86
	2021	0.47	2.04	0.72	27.62	23.11	0.2426	0.2582	219.85
	2022	0.46	2.40	0.69	31.40	25.09	0.1887	0.1889	48.68
	2023	0.49	2.28	0.73	27.27	22.84	0.2653	0.2701	215.62
	2024	0.46	2.07	0.70	30.00	24.39	0.2002	0.2008	68.11
前20年平均	0.47	2.27	0.70	29.01	23.83	0.2250	0.2305	135.06	
2025	0.49	2.16	0.72	29.20	24.16	0.2377	0.2454	189.41	

数据来源: Sentinel 和 Landsat 卫星数据 ECMWF 华泰期货研究院

加拿大菜籽产区状况

加拿大菜籽方面，总体上，2025年6月加拿大油菜籽产区植被指数整体略差，虽然还在合理波动范围内，但需关注，尤其曼尼托巴区域土壤墒情存在较大风险。

指标角度，加拿大三产区植被指数较前20年平均均呈下降趋势。Alberta的EVI (0.44) 下降6.4%、LAI (17.98) 下降5.5%、NDVI (0.66) 下降4.3%，三项指标与2019年 (EVI0.45、LAI16.96、NDVI0.65) 最为接近，菜籽长势略差；Manitoba的EVI (0.46) 与均值持平，LAI (18.60) 微升0.4%，NDVI (0.66) 下降4.3%，与2017年 (EVI0.47、LAI18.33、NDVI0.70) 特征相似，菜籽长势良好；Saskatchewan的EVI (0.37) 下降9.8%、LAI (12.53) 下降4.3%、NDVI (0.56) 下降9.7%。

图 28: 阿尔伯特菜籽区 6 月长势和环境对比

名称	年份	EVI	LAI	NDVI	最高气温(°C)	最低气温(°C)	土壤25cm体 积含水	土壤5cm体 积含水	累积降水 (mm)
Alberta	2005	0.47	17.66	0.70	15.48	10.62	0.3211	0.3117	154.40
	2006	0.50	22.60	0.73	18.12	13.11	0.3101	0.3030	100.38
	2007	0.48	19.81	0.70	17.64	11.99	0.3057	0.2958	117.50
	2008	0.46	20.55	0.69	16.62	11.17	0.3068	0.3003	118.41
	2009	0.38	14.19	0.58	17.24	11.01	0.2628	0.2372	57.77
	2010	0.42	16.93	0.65	16.46	10.93	0.3223	0.3032	102.76
	2011	0.46	16.55	0.69	15.46	10.45	0.3353	0.3196	152.92
	2012	0.49	20.28	0.70	16.39	11.31	0.3214	0.3143	151.39
	2013	0.51	19.32	0.72	15.95	11.15	0.3357	0.3306	131.90
	2014	0.48	18.14	0.70	15.89	10.49	0.3368	0.3274	147.43
	2015	0.46	19.14	0.67	18.68	12.53	0.2812	0.2686	71.29
	2016	0.51	23.88	0.73	18.26	12.58	0.3099	0.3071	112.05
	2017	0.49	21.88	0.70	17.51	11.95	0.3201	0.3042	118.73
	2018	0.46	18.48	0.68	18.03	12.35	0.2888	0.2863	101.59
	2019	0.45	16.96	0.65	16.51	11.19	0.2974	0.2919	141.80
	2020	0.48	17.89	0.70	16.16	11.17	0.3434	0.3318	167.68
	2021	0.46	19.97	0.67	19.82	13.91	0.3049	0.2848	69.58
2022	0.48	17.33	0.70	16.88	11.62	0.3244	0.3103	153.61	
2023	0.47	20.17	0.69	19.56	13.64	0.2852	0.2736	104.58	
2024	0.47	18.84	0.69	15.61	10.17	0.3047	0.2970	104.37	
前20年平均	0.47	19.03	0.69	17.11	11.67	0.3109	0.2999	119.01	
2025	0.44	17.98	0.66	17.23	11.55	0.2942	0.2840	102.74	

图 29: 曼尼托巴菜籽区 6 月长势和环境对比

名称	年份	EVI	LAI	NDVI	最高气温(°C)	最低气温(°C)	土壤25cm体 积含水	土壤5cm体 积含水	累积降水 (mm)
Manitoba	2005	0.45	16.34	0.70	17.95	14.26	0.3394	0.3355	207.72
	2006	0.51	24.98	0.75	20.19	15.35	0.2653	0.2600	71.24
	2007	0.52	23.65	0.76	18.90	14.14	0.2990	0.3020	139.28
	2008	0.47	19.12	0.70	17.90	13.03	0.2651	0.2722	133.66
	2009	0.44	13.29	0.65	18.60	13.34	0.2583	0.2462	80.91
	2010	0.46	20.05	0.72	17.45	13.35	0.3196	0.3209	163.43
	2011	0.40	15.07	0.66	17.25	13.04	0.3597	0.3541	155.29
	2012	0.52	23.20	0.75	19.18	14.54	0.2983	0.2951	119.72
	2013	0.45	15.53	0.67	18.35	13.83	0.3259	0.3159	134.58
	2014	0.41	12.24	0.66	16.87	12.95	0.3433	0.3396	190.22
	2015	0.49	19.60	0.71	19.71	14.67	0.2857	0.2857	86.24
	2016	0.52	24.86	0.75	19.37	14.65	0.3014	0.3004	99.89
	2017	0.47	18.33	0.70	18.10	13.69	0.2993	0.2971	129.63
	2018	0.48	20.60	0.70	21.08	16.14	0.2827	0.2885	127.71
	2019	0.43	15.35	0.64	18.79	13.68	0.2850	0.2836	126.89
	2020	0.45	17.89	0.68	18.90	14.46	0.3195	0.3165	202.81
	2021	0.43	16.65	0.64	21.22	16.22	0.2859	0.2759	105.06
2022	0.40	13.50	0.65	18.05	13.55	0.3484	0.3258	158.63	
2023	0.50	21.58	0.70	22.31	17.48	0.3065	0.3031	138.05	
2024	0.47	18.71	0.70	17.00	12.63	0.3387	0.3340	151.34	
前20年平均	0.46	18.53	0.69	18.86	14.25	0.3064	0.3026	136.12	
2025	0.46	18.60	0.66	19.36	14.32	0.2769	0.2630	54.20	

数据来源: Sentinel 和 Landsat 卫星数据 ECMWF 华泰期货研究院

数据来源: Sentinel 和 Landsat 卫星数据 ECMWF 华泰期货研究院

图 30: 萨斯喀彻温菜籽区 6 月长势和环境对比

名称	年份	EVI	LAI	NDVI	最高气温(°C)	最低气温(°C)	土壤25cm体 积含水	土壤5cm体 积含水	累积降水 (mm)
Saskatchewan	2005	0.42	11.64	0.64	16.60	12.70	0.3197	0.3145	148.61
	2006	0.43	15.35	0.64	18.62	14.35	0.3038	0.2990	112.48
	2007	0.42	14.50	0.64	18.09	13.22	0.3006	0.2909	120.95
	2008	0.37	12.53	0.58	17.72	12.81	0.2548	0.2481	87.53
	2009	0.34	9.28	0.53	18.58	13.11	0.2394	0.2221	62.37
	2010	0.37	12.19	0.59	17.03	12.85	0.3302	0.3238	160.42
	2011	0.40	12.06	0.62	16.30	12.18	0.3422	0.3347	175.16
	2012	0.40	14.53	0.63	17.43	13.00	0.3366	0.3323	175.25
	2013	0.42	12.38	0.65	16.92	12.73	0.3252	0.3148	138.46
	2014	0.38	8.69	0.58	15.34	11.42	0.3470	0.3358	178.08
	2015	0.40	12.53	0.59	19.82	14.44	0.2672	0.2372	51.35
	2016	0.48	19.57	0.69	19.45	14.37	0.2981	0.2904	104.13
	2017	0.39	11.80	0.60	18.14	13.22	0.2903	0.2716	78.11
	2018	0.41	14.13	0.62	19.84	14.67	0.2786	0.2725	98.15
	2019	0.37	9.86	0.55	18.19	13.15	0.2724	0.2679	140.43
	2020	0.41	11.90	0.61	16.94	12.59	0.3312	0.3128	164.73
	2021	0.40	13.30	0.59	20.16	15.27	0.3197	0.3001	105.27
2022	0.41	11.13	0.62	17.61	13.00	0.3246	0.2972	112.02	
2023	0.48	20.11	0.67	21.29	16.30	0.3110	0.2976	105.02	
2024	0.44	14.38	0.66	16.07	11.50	0.3059	0.2988	127.48	
前20年平均	0.41	13.09	0.62	18.01	13.34	0.3049	0.2931	122.30	
2025	0.37	12.53	0.56	18.50	13.47	0.2822	0.2511	80.01	

数据来源: Sentinel 和 Landsat 卫星数据 ECMWF 华泰期货研究院

土壤湿度普遍低于常年，表层（5cm）降幅大于深层（25cm）。Alberta 的 25cm 体积含水（0.2942）下降 5.4%、5cm 含水（0.2840）下降 5.3%，与 2018 年（25cm0.2888、5cm0.2863）湿度水平接近，土壤储水能力略减；Manitoba 的 25cm 含水（0.2769）下降 9.6%、5cm 含水（0.2630）下降 13.1%，与 2006 年（25cm0.2653、5cm0.2600）干燥特征相似，表层土壤偏干明显；Saskatchewan 的 25cm 含水（0.2822）下降 7.5%、5cm 含水（0.2511）下降 14.3%，与 2008 年（25cm0.2548、5cm0.2481）湿度状况接近，土壤整体偏干。

温度方面，6 月温度略高于常年，降水普遍大幅减少。Alberta 的最高温（17.23℃）微升 0.7%、最低温（11.55℃）微降 1.0%，降水（102.74mm）下降 13.7%，与 2018 年（最高温 18.03℃、降水 101.59mm）温高雨少特征相似；Manitoba 的最高温（19.36℃）上升 2.6%、最低温（14.32℃）微升 0.5%，降水（54.20mm）骤降 60.2%，与 2006 年（最高温 20.19℃、降水 71.24mm）高温少雨模式一致，干旱风险极高；Saskatchewan 的最高温（18.50℃）上升 2.7%、最低温（13.47℃）微升 1.0%，降水（80.01mm）下降 34.6%，与 2017 年（最高温 18.14℃、降水 78.11mm）温略高、雨偏少特征吻合，水分供给不足。

澳大利亚菜籽产区状况

澳大利亚菜籽方面，总体上产区长势水平交差，尤其是南澳大利亚和维多利亚州。具体来看，从植被指数看，各产区植被指数与前 20 年平均相比差异明显。西澳大利亚州 EVI（0.27）较均值（0.26）上升 3.8%，NDVI（0.48）上升 4.3%，LAI（5.93）略降 0.8%，三项指标均为四产区最佳；新南威尔士州 EVI（0.25）下降 3.8%，NDVI（0.49）上升 4.3%，LAI（5.18）下降 12.4%，整体呈小幅波动；维多利亚州 EVI（0.20）下降 28.6%，NDVI（0.39）下降 22.0%，LAI（5.94）下降 8.0%，菜籽长势显著偏弱；南澳大利亚州表现最差，EVI（0.17）下降 39.3%，NDVI（0.32）下降 33.3%，LAI（3.71）下降 38.8%，存在较大的减产风险。

土壤湿度方面，6 月土壤湿度变化呈现区域分化。南澳大利亚州 25cm 体积含水（0.1061）较均值（0.1684）下降 36.9%，5cm 含水（0.1618）下降 12.3%，深层土壤缺水最严重；新南威尔士州 25cm 含水（0.1704）下降 6.4%，5cm 含水（0.1909）下降 5.7%，水分条件小幅恶化；维多利亚州 25cm 含水（0.1559）下降 21.5%，5cm 含水（0.1914）下降 9.6%，土壤储水能力减弱；西澳大利亚州 25cm 含水（0.1522）下降 4.3%，5cm 含水（0.1776）上升 0.9%，是唯一表层土壤湿度略升的产区，水分稳定性较强。

图 31: 新南威尔士菜籽区 6 月长势和环境对比

名称	年份	EVI	LAI	NDVI	最高气温(°C)	最低气温(°C)	土壤25cm体 积含水	土壤5cm体 积含水	累积降水 (mm)
New South Wales	2005	0.16	2.35	0.35	13.61	9.50	0.1351	0.1781	103.55
	2006	0.16	2.93	0.31	11.44	6.52	0.1072	0.1562	45.20
	2007	0.30	6.79	0.51	10.64	6.95	0.1739	0.1985	62.82
	2008	0.18	3.09	0.35	13.65	9.82	0.1396	0.1818	48.10
	2009	0.25	4.74	0.47	12.36	8.84	0.1562	0.1932	70.95
	2010	0.25	5.24	0.47	11.74	7.93	0.2022	0.2085	30.42
	2011	0.22	4.38	0.41	11.42	7.51	0.2125	0.2164	27.95
	2012	0.22	4.58	0.44	11.06	7.42	0.2262	0.2331	44.71
	2013	0.24	4.64	0.47	11.49	8.16	0.2181	0.2365	80.88
	2014	0.35	9.76	0.58	11.86	8.44	0.2243	0.2316	37.65
	2015	0.30	7.36	0.53	11.35	7.31	0.1994	0.2161	60.90
	2016	0.30	7.12	0.54	11.45	8.38	0.2325	0.2497	138.21
	2017	0.27	7.12	0.49	12.57	7.09	0.1479	0.1531	11.27
	2018	0.17	3.26	0.34	12.44	7.77	0.1071	0.1568	32.44
	2019	0.25	5.88	0.43	12.54	7.79	0.1446	0.1651	23.60
	2020	0.39	11.36	0.61	12.16	8.06	0.1928	0.2001	42.56
	2021	0.26	5.52	0.49	11.47	7.87	0.2095	0.2298	79.68
	2022	0.31	6.92	0.54	10.63	7.23	0.2393	0.2371	20.00
	2023	0.27	6.60	0.50	12.67	8.52	0.1703	0.1909	44.72
	2024	0.33	8.57	0.58	10.91	6.82	0.2035	0.2174	39.66
前20年平均	0.26	5.91	0.47	11.87	7.90	0.1821	0.2025	52.26	
2025	0.25	5.18	0.49	11.42	6.80	0.1704	0.1909	34.59	

数据来源: Sentinel 和 Landsat 卫星数据 ECMWF 华泰期货研究院

图 32: 南澳大利亚菜籽区 6 月长势和环境对比

名称	年份	EVI	LAI	NDVI	最高气温(°C)	最低气温(°C)	土壤25cm体 积含水	土壤5cm体 积含水	累积降水 (mm)
South Australia	2005	0.16	2.50	0.32	14.35	11.41	0.1494	0.1775	82.37
	2006	0.24	6.00	0.42	11.87	8.37	0.1631	0.1630	13.24
	2007	0.32	7.27	0.52	11.68	8.99	0.1745	0.1814	22.73
	2008	0.26	5.24	0.44	14.43	11.44	0.1455	0.1606	36.34
	2009	0.31	6.55	0.52	13.76	10.99	0.1465	0.1847	73.11
	2010	0.26	5.59	0.44	13.00	10.02	0.1851	0.1951	40.79
	2011	0.27	5.81	0.48	13.25	10.24	0.1968	0.1933	37.71
	2012	0.25	5.60	0.45	12.45	9.53	0.1896	0.2034	70.45
	2013	0.34	7.85	0.57	12.99	10.18	0.2013	0.2129	58.38
	2014	0.36	8.87	0.61	13.42	10.80	0.2055	0.2105	61.75
	2015	0.32	7.47	0.53	13.09	9.94	0.1717	0.1756	29.71
	2016	0.31	7.24	0.53	12.85	10.11	0.1703	0.1992	73.87
	2017	0.24	5.44	0.42	13.21	8.71	0.1555	0.1517	11.89
	2018	0.24	4.91	0.41	12.53	9.08	0.1544	0.1790	43.75
	2019	0.30	6.48	0.51	12.97	9.48	0.1600	0.1806	51.70
	2020	0.30	7.24	0.50	12.87	9.29	0.1529	0.1693	26.97
	2021	0.22	3.94	0.40	13.10	10.13	0.1596	0.1941	59.54
	2022	0.31	6.73	0.53	12.66	10.01	0.1891	0.2023	50.44
	2023	0.34	7.89	0.57	13.83	11.01	0.1795	0.1950	72.10
	2024	0.18	2.62	0.36	13.04	9.63	0.1167	0.1582	35.83
前20年平均	0.28	6.06	0.48	13.07	9.97	0.1684	0.1844	47.63	
2025	0.17	3.71	0.32	13.18	9.96	0.1061	0.1618	46.05	

数据来源: Sentinel 和 Landsat 卫星数据 ECMWF 华泰期货研究院

图 33: 维多利亚菜籽区 6 月长势和环境对比

名称	年份	EVI	LAI	NDVI	最高气温(°C)	最低气温(°C)	土壤25cm体 积含水	土壤5cm体 积含水	累积降水 (mm)
Victoria	2005	0.19	2.99	0.38	12.37	8.93	0.1844	0.2047	71.11
	2006	0.24	5.99	0.41	10.37	6.74	0.1608	0.1664	24.36
	2007	0.35	9.57	0.56	10.03	7.28	0.2202	0.2160	31.17
	2008	0.24	4.76	0.43	12.61	9.93	0.1807	0.1977	39.18
	2009	0.29	5.97	0.50	11.30	8.34	0.2047	0.2206	42.19
	2010	0.29	6.81	0.51	10.92	7.99	0.2050	0.2134	53.20
	2011	0.25	5.92	0.47	11.31	8.25	0.2229	0.2195	32.29
	2012	0.23	4.96	0.44	10.57	7.53	0.1949	0.2144	61.94
	2013	0.25	5.02	0.47	11.10	7.78	0.2252	0.2307	47.92
	2014	0.36	8.75	0.59	11.53	8.73	0.2134	0.2235	51.13
	2015	0.27	5.49	0.47	10.94	7.82	0.2013	0.2120	33.68
	2016	0.34	7.72	0.57	10.96	8.12	0.1992	0.2209	57.44
	2017	0.31	8.11	0.54	11.31	7.26	0.2002	0.1953	7.76
	2018	0.25	5.40	0.44	10.95	7.32	0.1681	0.1974	34.76
	2019	0.32	8.19	0.54	11.59	8.16	0.2009	0.2155	69.77
	2020	0.33	9.35	0.55	11.12	7.48	0.1792	0.1980	33.47
	2021	0.26	4.80	0.46	11.75	9.00	0.1793	0.2134	58.70
	2022	0.36	7.88	0.59	10.88	8.50	0.2162	0.2280	58.23
	2023	0.32	7.45	0.55	11.67	9.08	0.2248	0.2360	102.31
	2024	0.23	4.06	0.44	10.62	7.19	0.1881	0.2100	48.56
前20年平均	0.28	6.46	0.50	11.19	8.07	0.1985	0.2117	47.71	
2025	0.20	5.94	0.39	10.80	7.17	0.1559	0.1914	47.85	

数据来源: Sentinel 和 Landsat 卫星数据 ECMWF 华泰期货研究院

图 34: 西澳大利亚菜籽区 6 月长势和环境对比

名称	年份	EVI	LAI	NDVI	最高气温(°C)	最低气温(°C)	土壤25cm体 积含水	土壤5cm体 积含水	累积降水 (mm)
Western Australia	2005	0.35	9.37	0.58	13.22	10.32	0.2113	0.2158	89.69
	2006	0.19	4.26	0.35	13.75	9.04	0.1327	0.1320	17.56
	2007	0.23	4.94	0.40	14.48	10.67	0.1217	0.1510	39.11
	2008	0.27	7.05	0.46	14.46	10.54	0.1469	0.1665	46.86
	2009	0.22	4.07	0.40	13.64	10.39	0.1485	0.1855	86.35
	2010	0.23	4.98	0.41	13.76	9.81	0.1506	0.1715	39.05
	2011	0.23	4.61	0.41	14.32	10.76	0.1675	0.1823	61.63
	2012	0.23	4.91	0.42	14.18	10.71	0.1741	0.1879	70.00
	2013	0.29	7.35	0.47	13.74	9.61	0.1601	0.1638	14.70
	2014	0.29	6.98	0.50	13.83	9.86	0.1645	0.1772	38.51
	2015	0.27	5.86	0.47	15.02	11.04	0.1571	0.1603	43.06
	2016	0.35	9.67	0.57	12.57	9.06	0.1979	0.2023	49.30
	2017	0.21	4.68	0.39	15.17	10.43	0.1411	0.1384	20.17
	2018	0.23	4.24	0.42	13.65	9.85	0.1466	0.1777	45.66
	2019	0.21	3.68	0.39	13.66	9.74	0.1370	0.1697	73.02
	2020	0.25	5.11	0.44	15.38	11.23	0.1249	0.1625	39.27
	2021	0.34	8.85	0.57	12.81	9.30	0.1919	0.1999	49.77
	2022	0.34	8.28	0.57	14.01	10.63	0.1859	0.1927	48.98
	2023	0.27	5.97	0.48	11.68	8.68	0.1771	0.1995	58.58
	2024	0.25	4.71	0.46	14.42	10.87	0.1449	0.1819	73.07
前20年平均	0.26	5.98	0.46	13.89	10.12	0.1591	0.1759	50.22	
2025	0.27	5.93	0.48	14.67	10.92	0.1522	0.1776	49.28	

数据来源: Sentinel 和 Landsat 卫星数据 ECMWF 华泰期货研究院

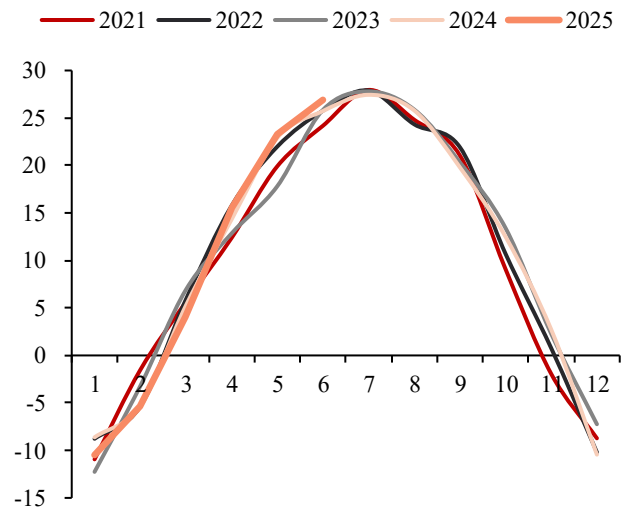
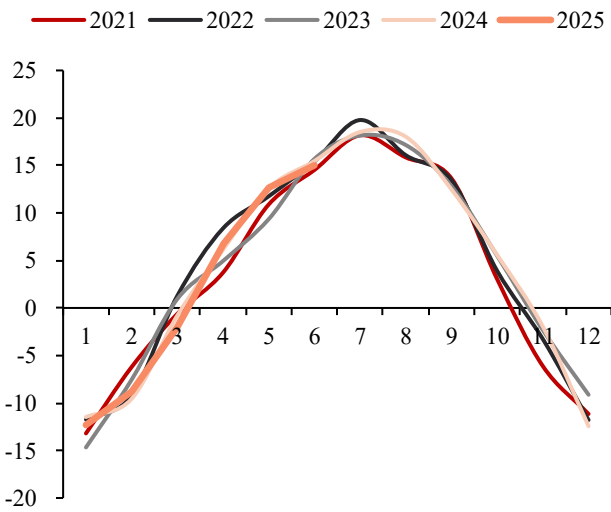
温度方面, 与降水组合影响显著。西澳大利亚州最高气温 (14.67°C) 较均值 (13.89°C) 上升 5.6%, 最低气温 (10.92°C) 上升 7.9%, 高温特征突出, 累积降水 (49.28mm) 下降 2.0%, 温高雨稳; 新南威尔士州最高气温 (11.42°C) 下降 3.8%, 最低气温 (6.80°C) 下降 13.9%, 气温偏低, 降水 (34.59mm) 下降 33.8%, 干旱风险升高; 维多利亚州最高气温 (10.80°C) 下降 3.5%, 最低气温 (7.17°C) 下降 11.2%, 气温凉爽, 降水 (47.85mm) 上升 0.3%, 水热条件较稳定; 南澳大利亚州最高气温 (13.18°C) 上升 0.8%, 最低气温 (9.96°C) 下降 0.1%, 气温基本持平, 降水 (46.05mm) 下降 3.3%, 水分供给略减。

新疆红枣产区温度评估

近期新疆红枣产区温度市场关注较高，因此使用卫星遥感数据，对过去 5 年新疆喀什、阿克苏和和田红枣种植区域的平均温度进行了监测对比。截止 6 月底，整体来看，新疆红枣产区均值温度基本保持正常，个别区域极最高气温略高于历史均值，但持续时间较短，全区域受高温胁迫有限，产量受高温影响有限。

图 35: 喀什地区近 5 年均温

图 36: 阿克苏地区近 5 年均温

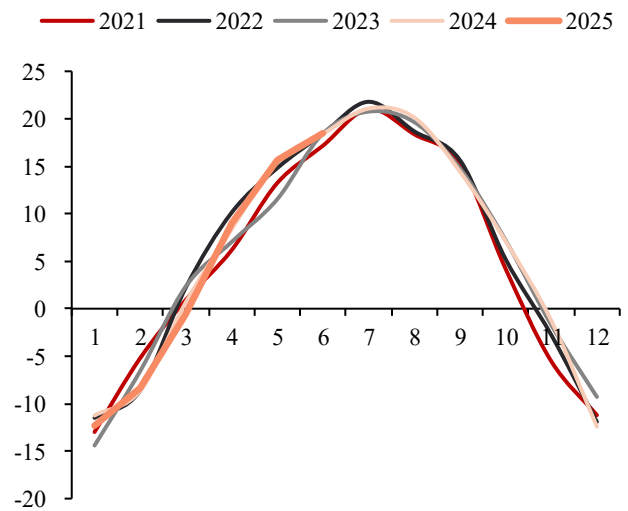
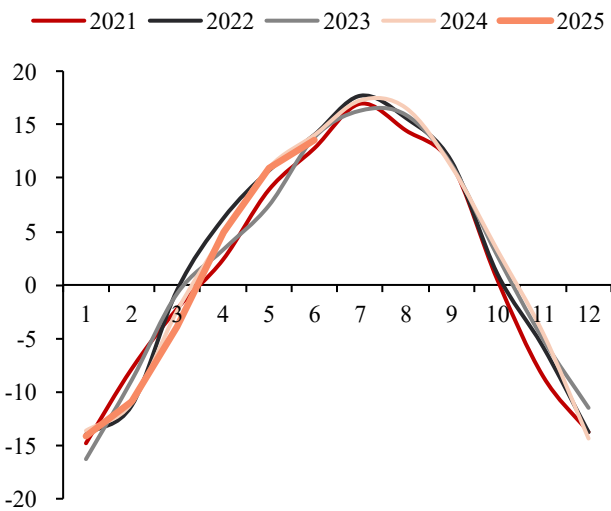


数据来源: Sentinel 和 Landsat 卫星数据 ECMWF 华泰期货研究院

数据来源: Sentinel 和 Landsat 卫星数据 ECMWF 华泰期货研究院

图 37: 和田地区近 5 年均温

图 38: 三大区域近 5 年均温



数据来源: Sentinel 和 Landsat 卫星数据 ECMWF 华泰期货研究院

数据来源: Sentinel 和 Landsat 卫星数据 ECMWF 华泰期货研究院

分区域来看，喀什地区和和田地区的均值温度基本和历史同期持平，喀什地区 5 月温度整体偏高，但 6 月之后温度增幅有所回落，维持在正常范围。和田地区 3 月之前整体温度低于历史同期，但是 4-5 月温度快速上升，一度成为近 5 年最高年份，但偏高幅度有限，6 月以后温度也回落到正常区间。

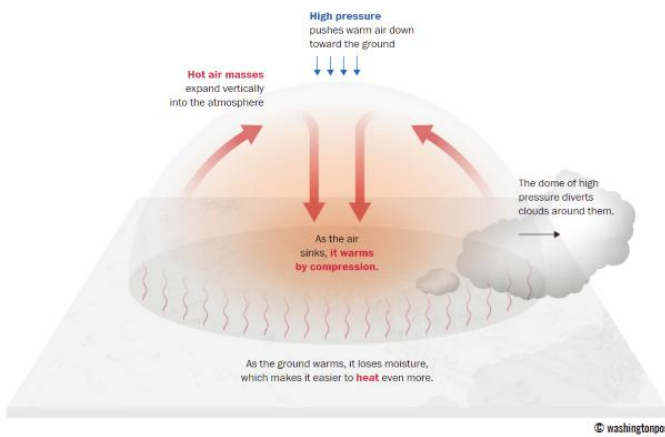
值得注意的是阿克苏地区，整体温度 5-6 月上升较高，均突破近 5 年同期最高水平，温度偏高，6 月均值温度较近 5 年均值偏高 5.22%，该区域需重点关注。

欧洲近期热穹顶形成与崩塌

欧洲 6 月底到 7 月初热穹顶形成原因及影响

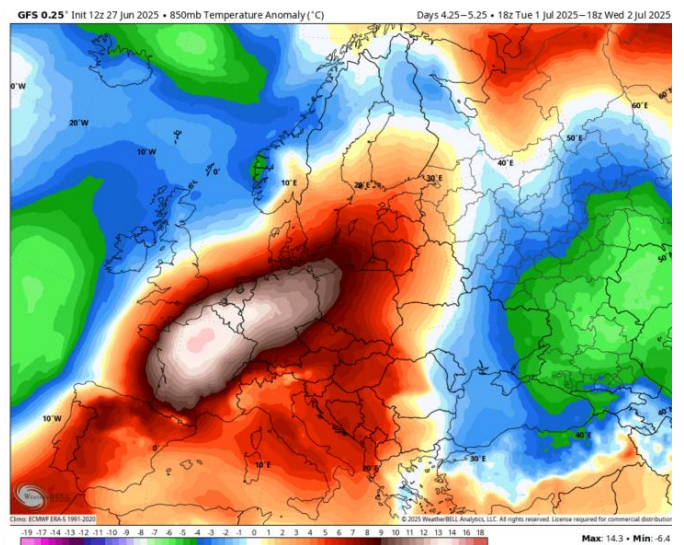
近年来，欧洲、北美和中国多次出现重大且破纪录的热浪，很多都是由热穹顶驱动形成，热穹顶是一种常见的天气模式，通常持续时间较短，极端情况下会持续数天或数周。主要原理是高空脊状结构，或高海拔地区的极暖气团，也称为高空高压（或阻塞高压），形成热穹顶，热穹顶的作用就像锅盖一样，将暖空气困在下方的各个层面，并层层下沉至地面，这种天气模式会给下方地区带来高温。

图 39：热穹顶形成机理



数据来源：CMORPH ECMWF 华泰期货研究院

图 40：6 月底欧洲热穹顶引发高温影响区域



数据来源：CMORPH ECMWF 华泰期货研究院

自 6 月中旬到 7 月初，欧洲大部分地区形成的主要热穹顶依然强劲。稳定的炎热天气导致法国和巴尔干半岛中部首次出现 40°C 的高温，欧洲大陆大部分地区经历了长时间的异常高温，数百个气象站打破了 6 月份的最高气温纪录，有些甚至打破了 7 月份的最高气温纪录。这波热浪堪称史无前例。持续不断、强度极高的热穹顶和持续不断的热浪正在迅速使欧洲大陆变干，加之湿度较低，许多地区持续的干旱状况也在迅速恶

化，增加了野火的威胁。尽管最近几周出现了一些锋面系统，并伴有风暴和降雨，但远不足以阻止旱情的蔓延。

图 41：6 月 23 日欧洲土壤墒情

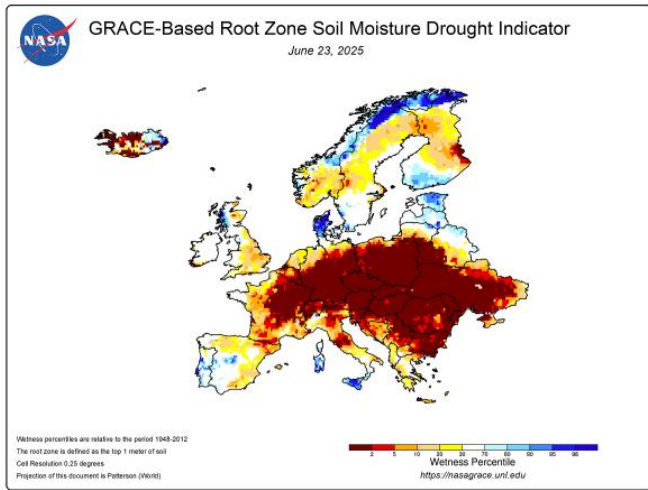
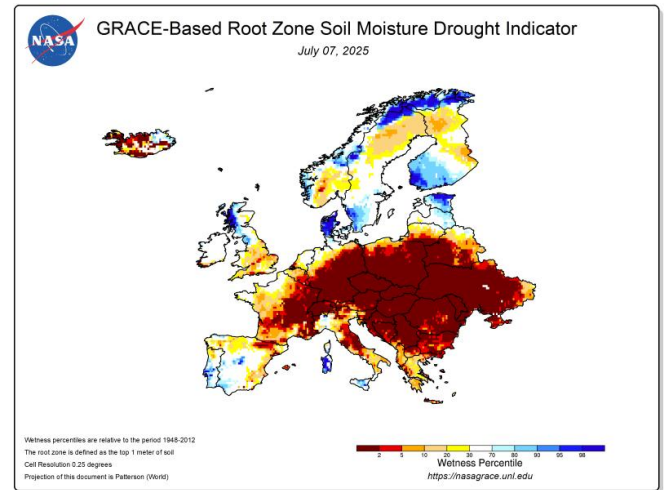


图 42：7 月 7 日欧洲土壤墒情



数据来源：Sentinel 和 Landsat 卫星数据 ECMWF 华泰期货研究院

数据来源：Sentinel 和 Landsat 卫星数据 ECMWF 华泰期货研究院

热穹顶后期坍塌影响和再度形成

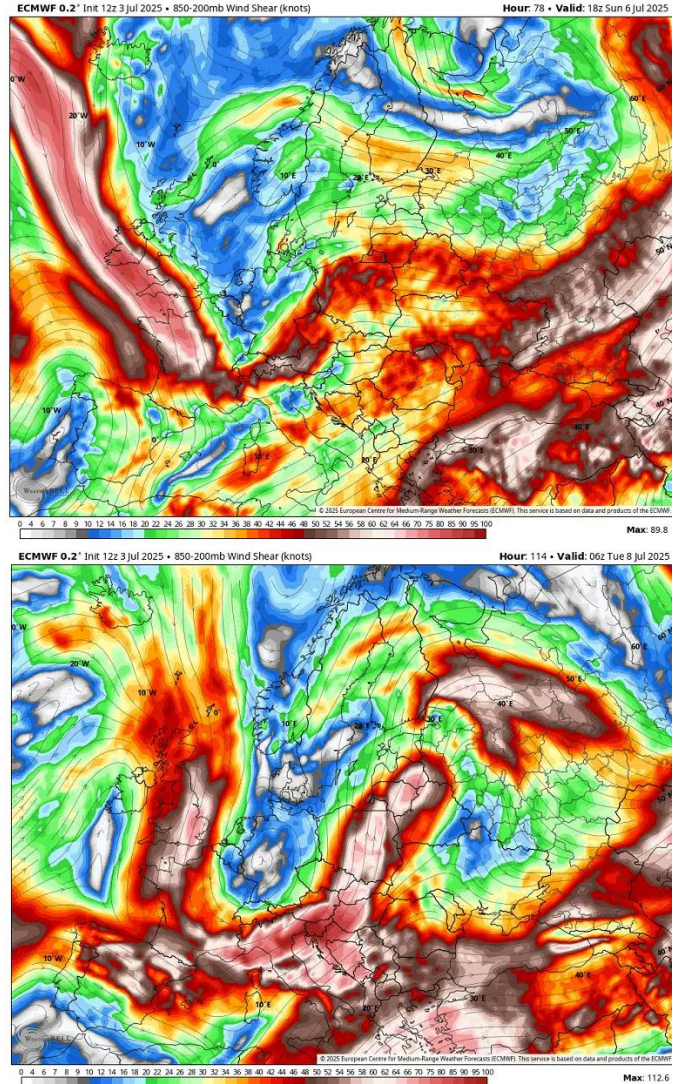
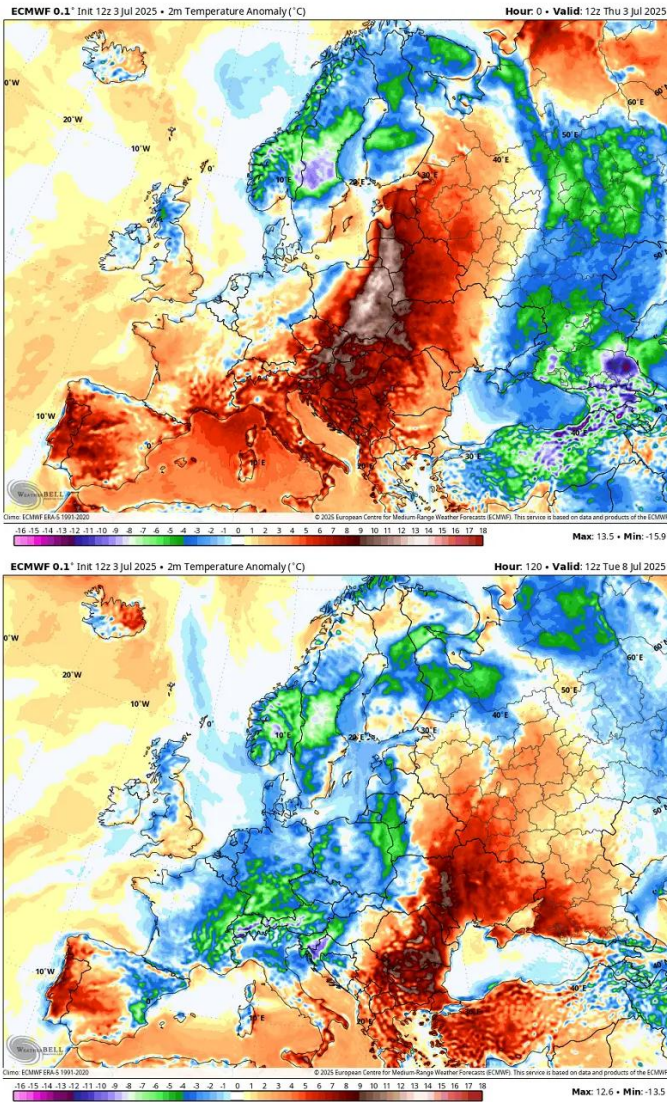
7 月以来，欧洲大部分地区长期存在的热穹顶和热浪正在暂时消散，并将被更冷的气团取代。中欧地区可能出现严重天气，并伴有强雷暴、冰雹、洪水和破坏性强风。

由于北大西洋上空强脊的增强，一股来自北方的深层寒潮在周日之后向南深入中欧，并向地中海推进。欧洲大陆上空强阻塞高压崩溃并被扰动，被高空低压槽或低压取代。当这种情况发生时，一方面会使得区域温度下降，将比正常值低 5 至 8 摄氏度，另一方面预计会出现极端对流天气。

地中海持续不断、破纪录的海洋热浪为雷暴提供了巨大的能量源。将对流有效位能（CAPE）推高至 2000-3000 焦耳/千克的极端的不稳定范围，叠加强高空风的结合，将为强雷暴的形成提供条件。这些雷暴可能引发各种天气灾害，包括大型至超大型（巨型）冰雹、破坏性强风、暴雨和龙卷风，意大利、斯洛文尼亚和克罗地亚北部地区将会成为重点影响区域。瑞士和奥地利的阿尔卑斯山脉周边、意大利北部、斯洛文尼亚和克罗地亚北部也会出现强降水过程。

图 43: 热穹顶崩塌及降温区域

图 44: 强对流天气分布



数据来源: Sentinel 和 Landsat 卫星数据 ECMWF 华泰期货研究院

数据来源: Sentinel 和 Landsat 卫星数据 ECMWF 华泰期货研究院

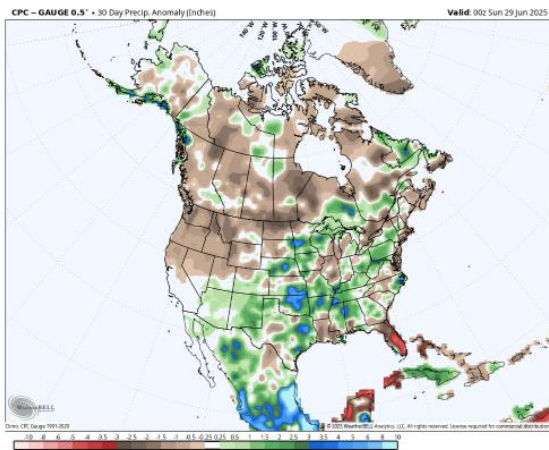
短期对流天气之后，新的热穹顶和阻塞高压将在 7 月 10 日之后形成，由于强烈的热浪会在中欧地区出现大量降雨之后到来，蒸散量将会非常剧烈。因此，在气团干燥几天后之前，湿度和温度露点将会更高。

北美产区历史和未来天气分析

北美过去一个月天气状况分析

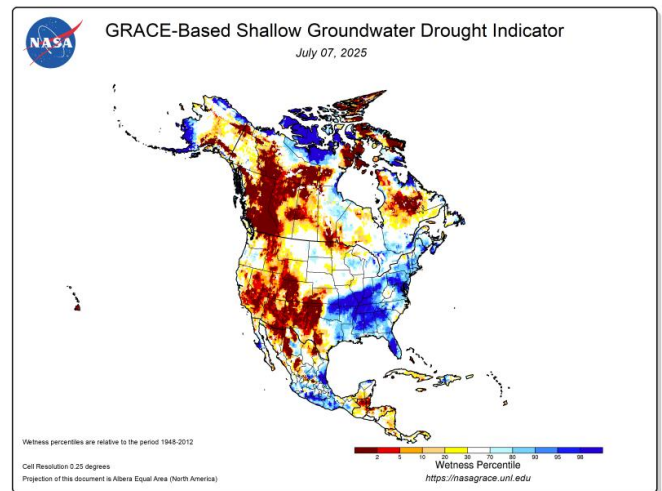
5-6 月美国产区降水良好，依然维持南多北少和东多西少的空间格局。分作物区域来看，棉花产区整体降水偏多，尤其德州降水量大幅高于历史同期水平，偏多 20%-50%，德州棉花产区面临过涝问题。玉米大豆产区，整体降水良好，土壤含水量维持在正常水平，原本略微偏干的中西部产区，也出现持续性的降水改善，南北达科塔区域土壤墒情恢复明显，爱荷华降水也得以恢复，目前来看，近 2 个月仅伊利诺伊区域偏少，需要重点关注。加拿大整体菜籽产区降水量偏少，但全区域土壤墒情良好，值得关注的是西部的曼尼托巴菜籽产区偏干，结合菜籽长势数据，曼尼托巴区域的菜籽短期存在一定的风险。

图 45: 北美 6 月降水量距平分布



数据来源: NOAA USDA 华泰期货研究院

图 46: 北美截止 7 月 7 日土壤墒情

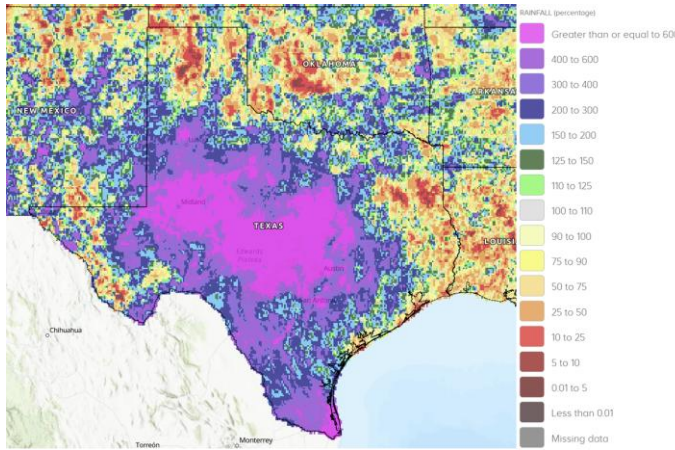


数据来源: NASA NOAA USDA 华泰期货研究院

美国南部极端降水评估

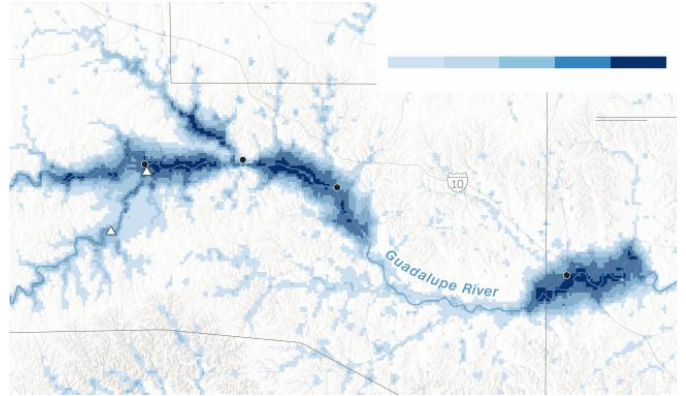
7 月初美国南部区域遭受极端降水袭击，此次极端降水主要是由于热带风暴登录墨西哥后残留水汽和湍流在德州形成强降水过程，7 月 1-9 日累计降水已经超过历史同期均值 600%以上，美国国家气象局报告称，克尔县中南部地区在短短三到六个小时内就出现了约 125-250 毫米的降雨。周四至周一，部分地区降雨量接近 21 英寸，而过去 25 年，克尔维尔地区 7 月份的平均降雨量仅为 2 英寸多一点，短期的强降水在瓜达卢佩河区域造成洪涝灾害。

图 47: 美国德州 7 月 1-10 日累计降水距平



数据来源: NOAA ECMWF 华泰期货研究院

图 48: 截止 7 月 10 日美国德州中部洪灾区域



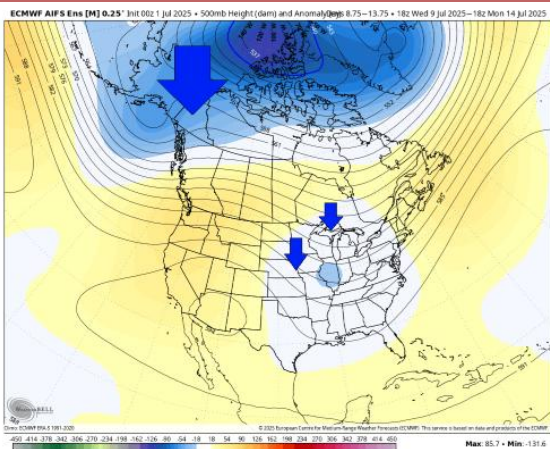
数据来源: NOAA GFS 华泰期货研究院

根据最新监测，德州中部区域整体土壤含水大幅飙升，部分区域形成内涝，虽然近期内涝已经逐步消退，但对中部的作物还是有一定影响，尤其是棉花，需要重点关注后期的产量变化。

北美未来一个月天气趋势分析

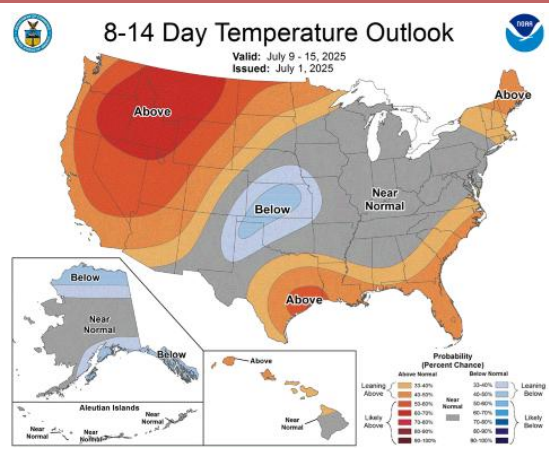
未来来看，加拿大北部和极地地区出现异常强的低压区。美国东部地区也出现了低压区的延伸，西部出现了一道脊线，一直延伸到加拿大南部，在北风气流的影响下，美国东部地区的气温低于正常水平，西部强劲的脊线将给美国西部和加拿大西部带来远高于正常水平的气温。加拿大北部的北气流上空还将持续出现气温低于正常水平的强区。

图 49: 美国未来 7 月气压模式预测



数据来源: Sentinel 和 Landsat 卫星数据 ECMWF 华泰期货研究院

图 50: NOAA 对 7 月中旬温度距平预测



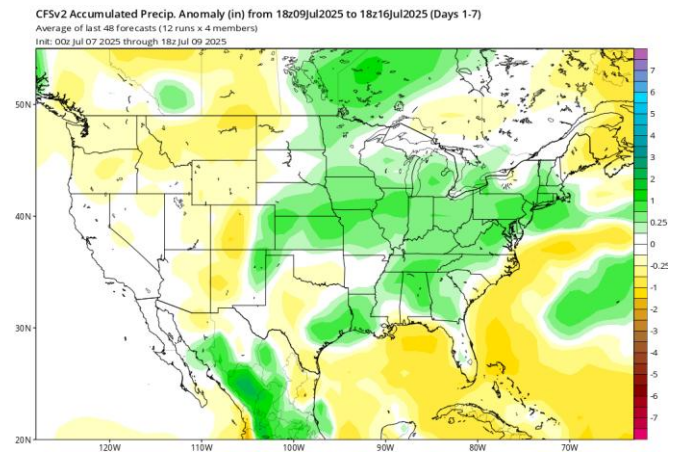
数据来源: NOAA GFS 华泰期货研究院

对应到作物产区，美国大豆玉米带和加拿大菜籽产区都将在 7 月中经历一次大范围的降温，这对于缓解美国当前略偏高的温度有着极大的帮助，换言之，北美产区 7 月

整体维持不错的天气条件。

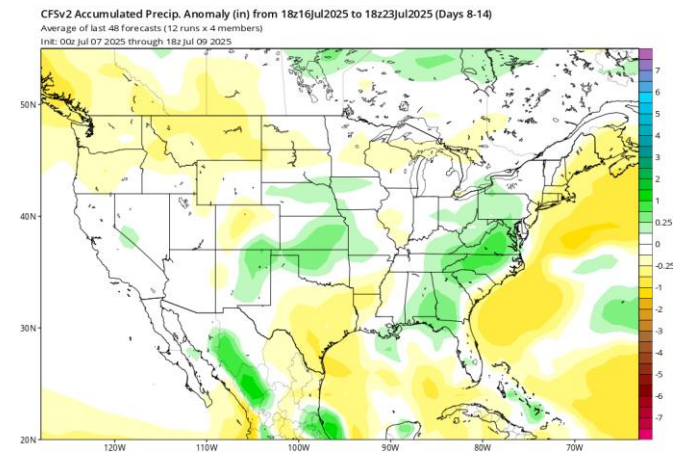
具体来看，从降水角度，美国东部区域依然是降水的主力区域，东部降水偏多的格局预计会持续，未来四周东南部区域会持续降水。南部区域在冷空气南下过程中会形成对流天气带来一定程度的降水，整体降水量维持历史同期水平。玉米大豆产区降水量依然充足，各个区域会阶段性的出现降水过程，没有持续干旱区域，前期提到偏干的印第安纳区域也会迎来不错的降水。加拿大菜籽产区也会在冷空气的南下过程中迎来一定的降水，对于土壤墒情的改善会起到很大作用，尤其是在曼尼托巴区域，效果会很明显。

图 51：美国未来第一周降水距平预测



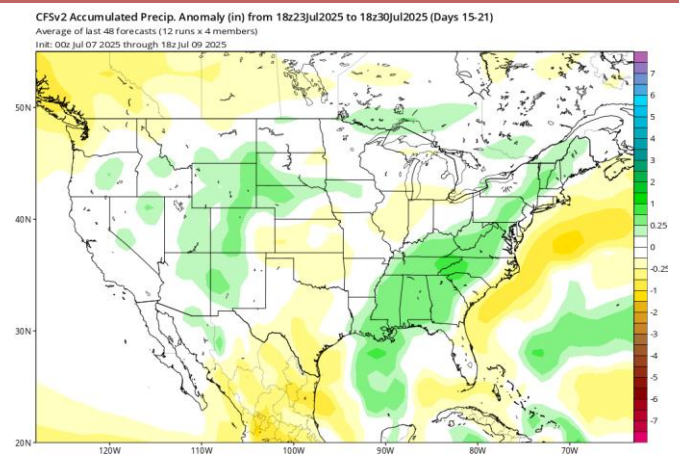
数据来源：Sentinel 和 Landsat 卫星数据 GFS 华泰期货研究院

图 52：美国未来第二周降水距平预测



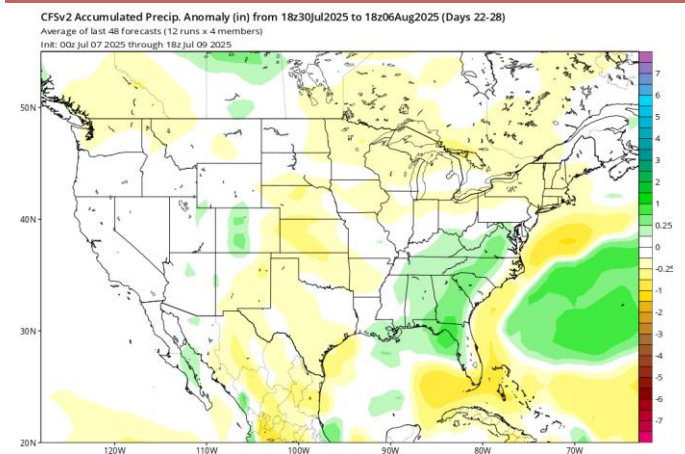
数据来源：Sentinel 和 Landsat 卫星数据 GFS 华泰期货研究院

图 53：美国未来第三周降水距平预测



数据来源：Sentinel 和 Landsat 卫星数据 GFS 华泰期货研究院

图 54：美国未来第四周降水距平预测

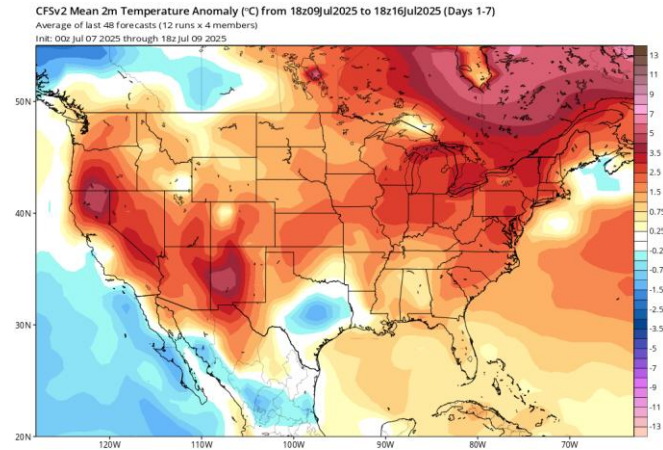


数据来源：Sentinel 和 Landsat 卫星数据 GFS 华泰期货研究院

温度角度，如前面分析夏季急流的出现，将在 7 月中旬给美国加拿大带来较强的冷空

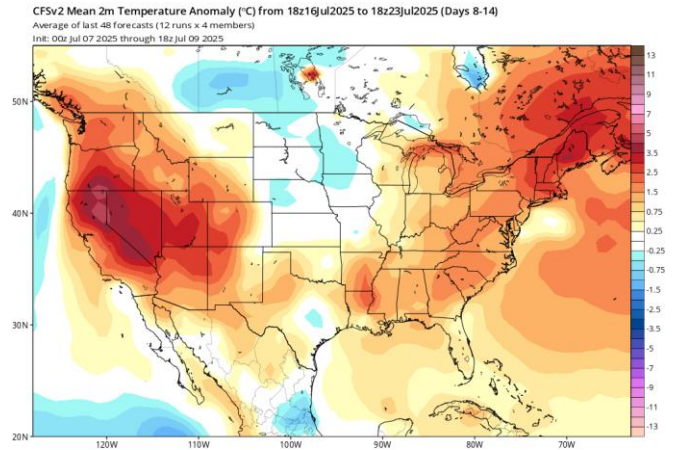
气，引发大范围的降温过程，可以极大的缓解前期的高温天气，减少作物的蒸发强度，由于发生在夏季，虽然降温幅度较大，但依然会在作物生长发育的正常温度区间，因此不仅不会对作物的生长发育产生影响，反而良好的水热条件会使得作物进入更加适宜的生长状态。

图 55：美国未来第一周温度距平预测



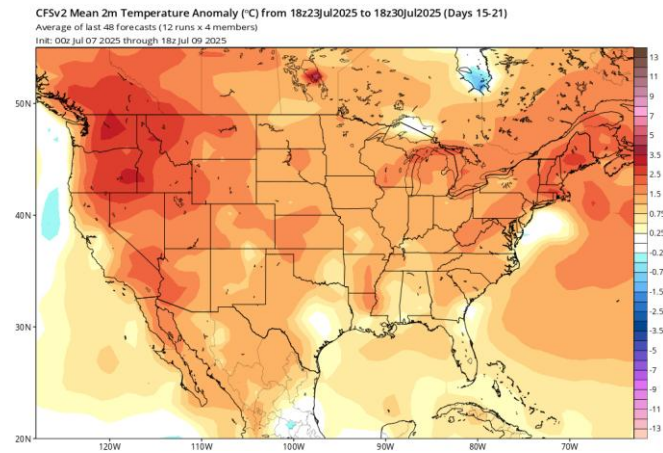
数据来源：Sentinel 和 Landsat 卫星数据 GFS 华泰期货研究院

图 56：美国未来第二周温度距平预测



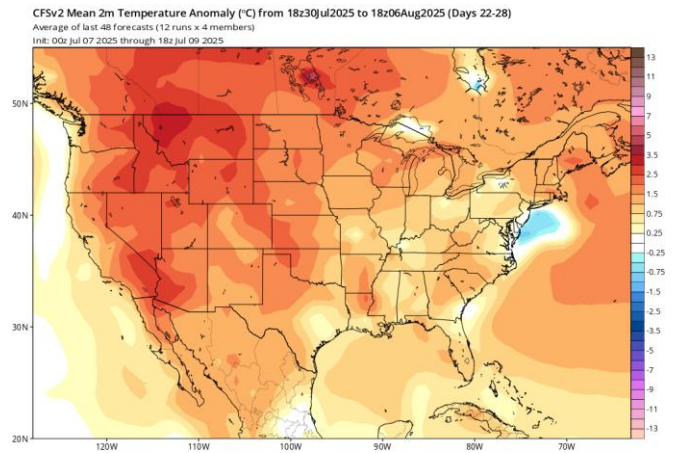
数据来源：Sentinel 和 Landsat 卫星数据 GFS 华泰期货研究院

图 57：美国未来第三周温度距平预测



数据来源：Sentinel 和 Landsat 卫星数据 GFS 华泰期货研究院

图 58：美国未来第四周温度距平预测



数据来源：Sentinel 和 Landsat 卫星数据 GFS 华泰期货研究院

免责声明

本报告基于本公司认为可靠的、已公开的信息编制，但本公司对该等信息的准确性及完整性不作任何保证。本报告所载的意见、结论及预测仅反映报告发布当日的观点和判断。在不同时期，本公司可能会发出与本报告所载意见、评估及预测不一致的研究报告。本公司不保证本报告所含信息保持在最新状态。本公司对本报告所含信息可在不发出通知的情形下做出修改，投资者应当自行关注相应的更新或修改。

本公司力求报告内容客观、公正，但本报告所载的观点、结论和建议仅供参考，投资者并不能依靠本报告以取代行使独立判断。对投资者依据或者使用本报告所造成的一切后果，本公司及作者均不承担任何法律责任。

本报告版权仅为本公司所有。未经本公司书面许可，任何机构或个人不得以翻版、复制、发表、引用或再次分发他人等任何形式侵犯本公司版权。如征得本公司同意进行引用、刊发的，需在允许的范围内使用，并注明出处为“华泰期货研究院”，且不得对本报告进行任何有悖原意的引用、删节和修改。本公司保留追究相关责任的权利。所有本报告中使用的商标、服务标记及标记均为本公司的商标、服务标记及标记。

华泰期货有限公司版权所有并保留一切权利。

公司总部

广州市天河区临江大道1号之一2101-2106单元 | 邮编：510000

电话：400-6280-888

网址：www.htfc.com